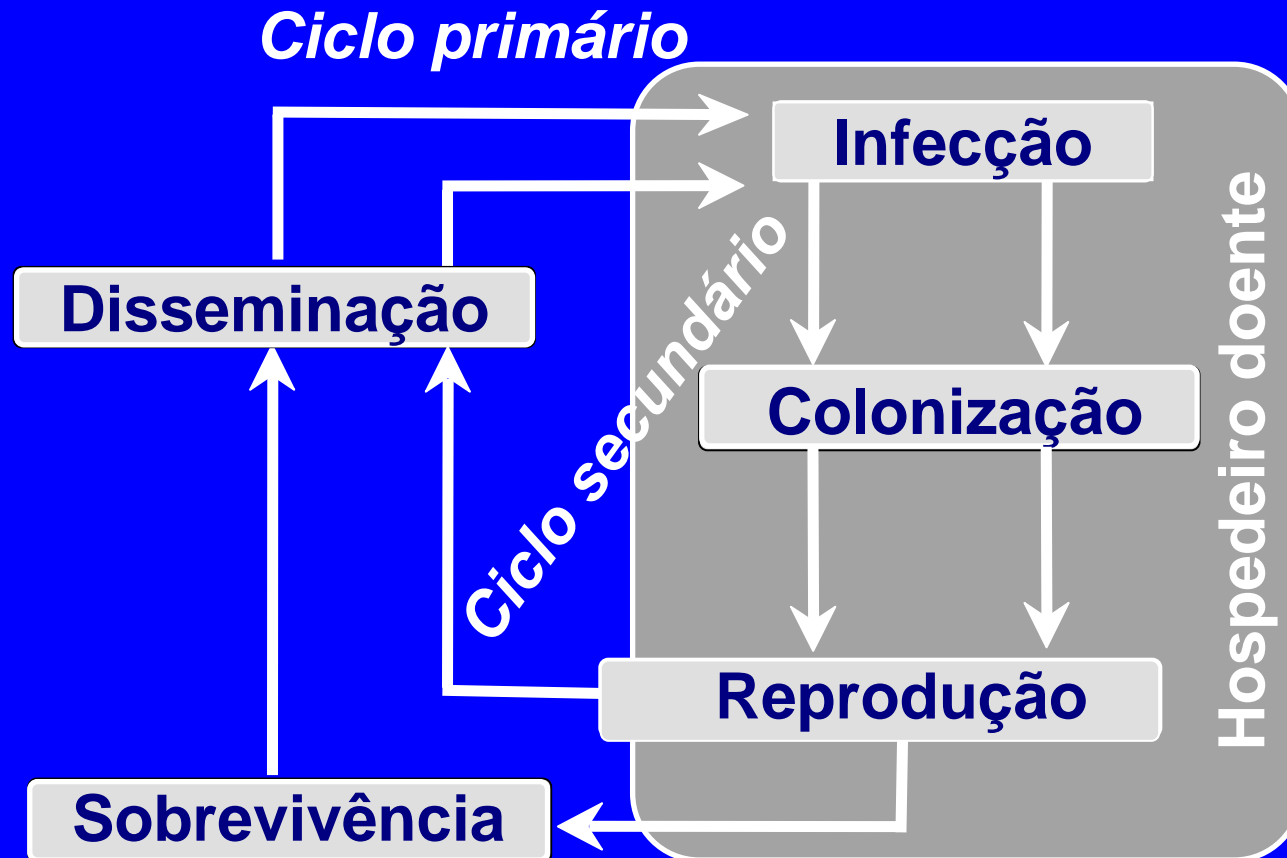
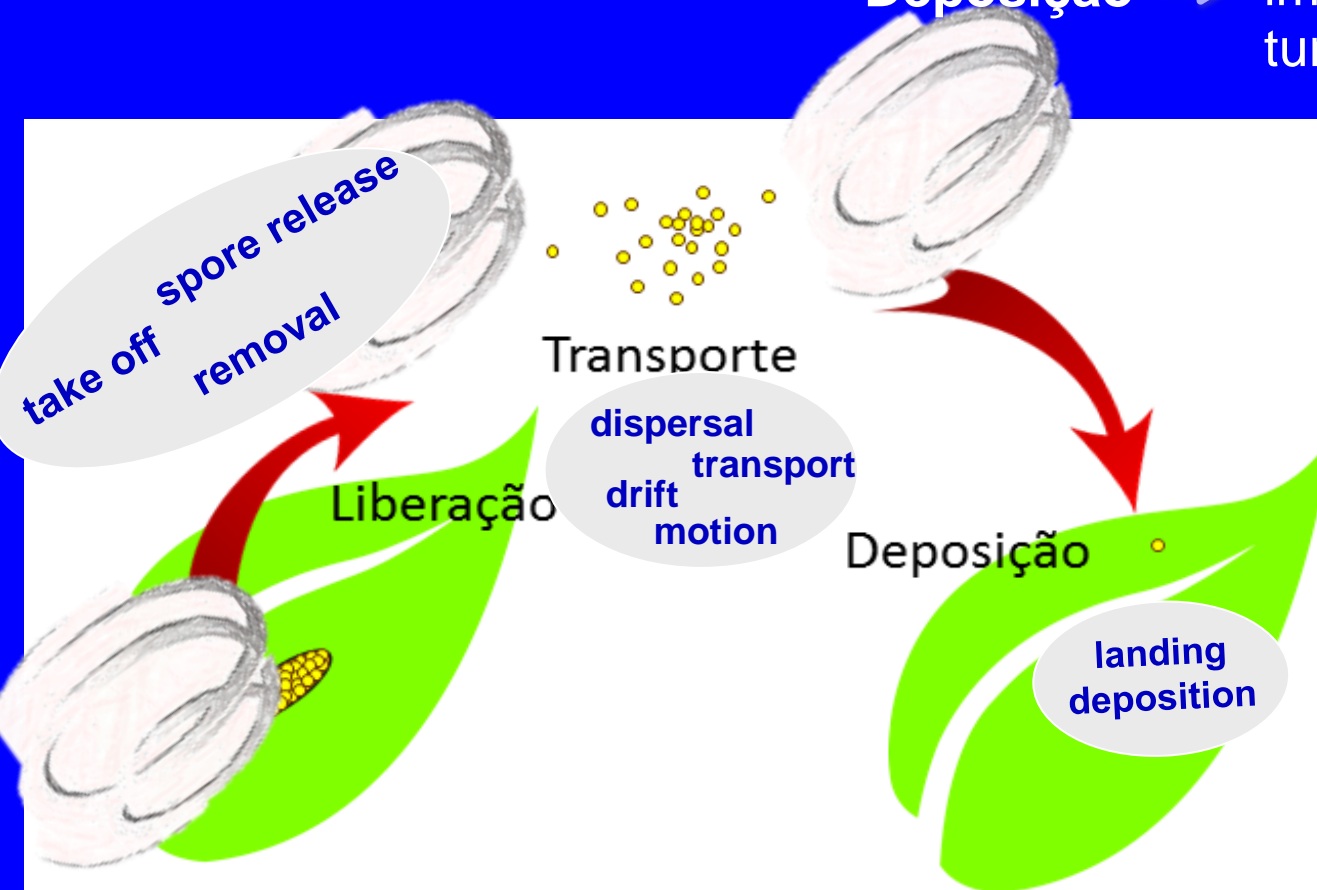


Ciclo das relações patógeno-hospedeiro – Modelo conceitual

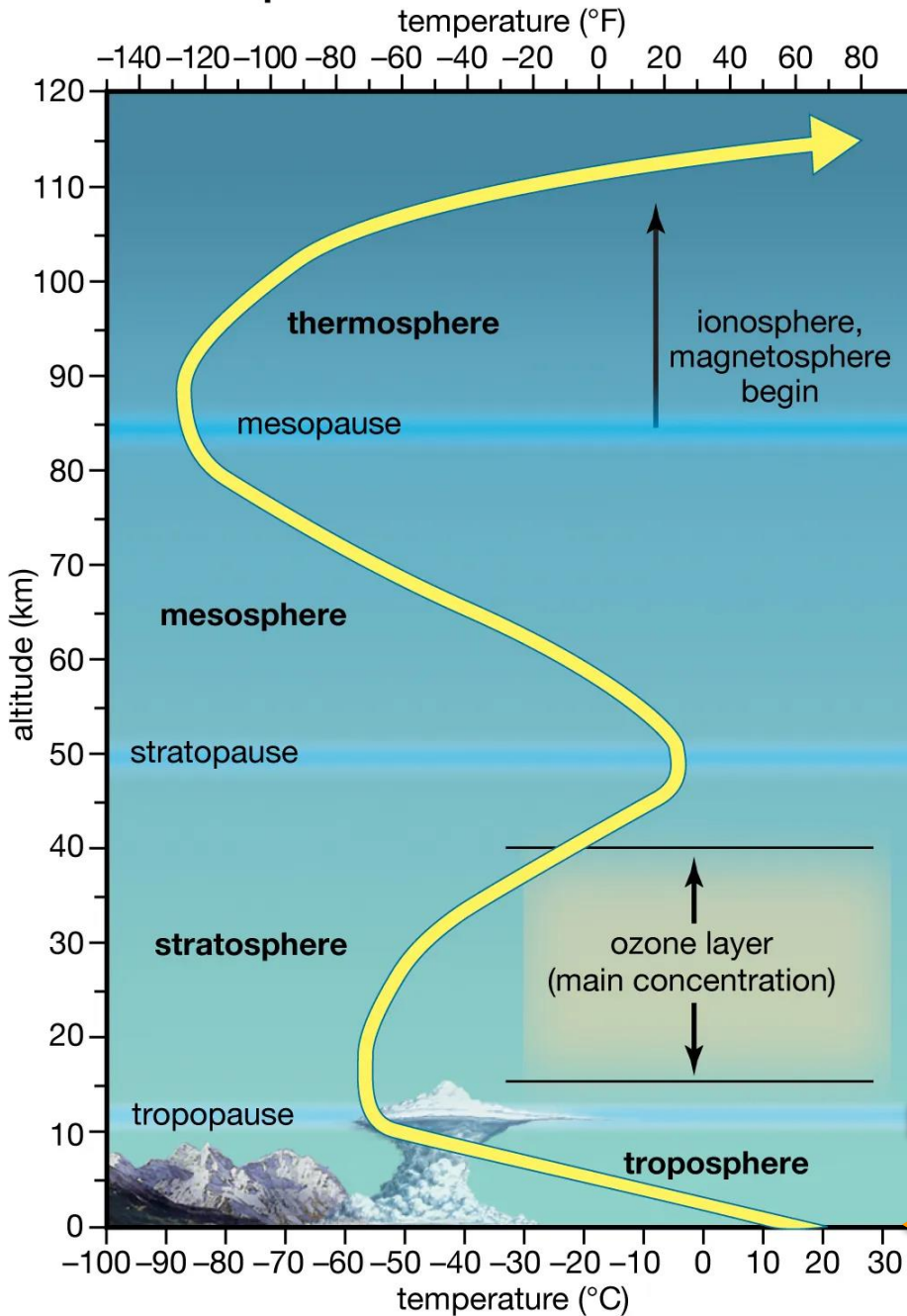


Disseminação

- Liberação → ativa/passiva
- Dispersão → ativa/passiva (ar/água/homem/insetos)
- Deposição → sedimentação
impacto
turbulência



Earth's atmosphere



Disseminação

- Camada convectiva
- Camada de transição
- Camada de turbulência
- Camada laminar
- Camada estacionária

Liberação - remoção da fonte

até 10 km

Camada convectiva

até 1 km

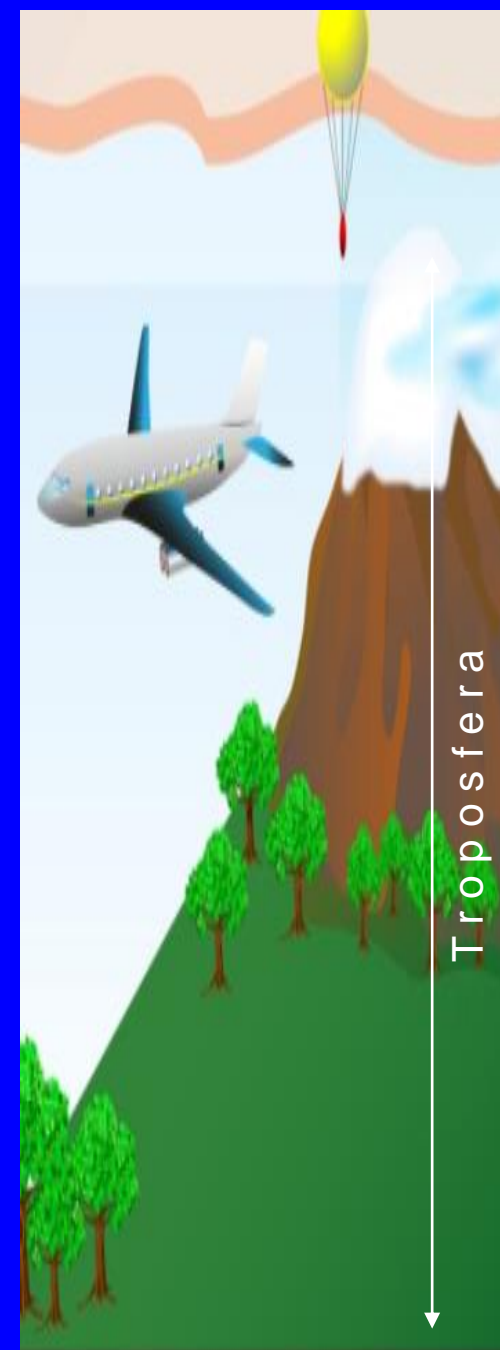
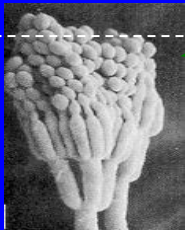
Camada de transição

50 a 150 m

Camada de turbulência

Camada laminar
milímetros

Camada estacionária
micrômetros



Liberação



A - *Ganoderma gravidade*

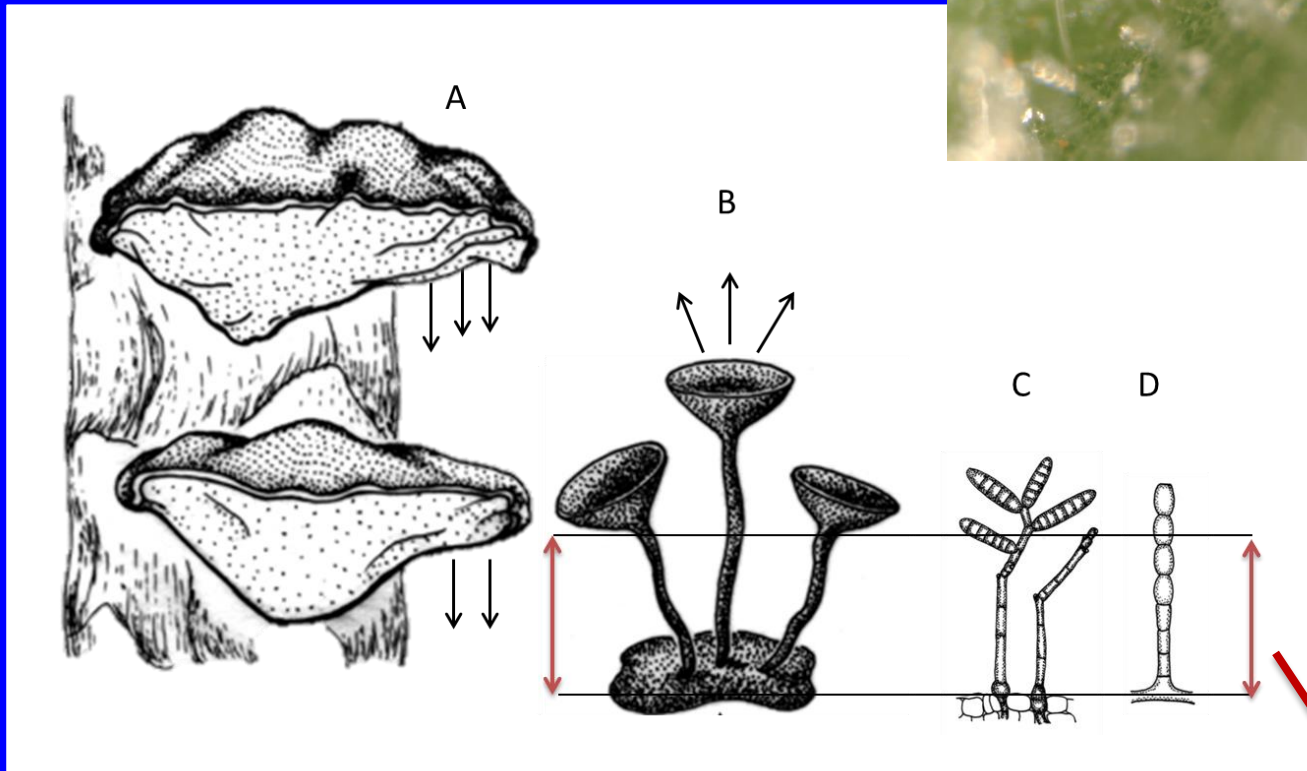
B - *Sclerotinia ejeção*

C - *Dreschlera*

D - *Oidium*

liberação pelo vento ou chuva
cadeia de conídios e conidióforo longos

Camada estacionária



Liberação Passiva

energia externa



(Inglod, 1971)

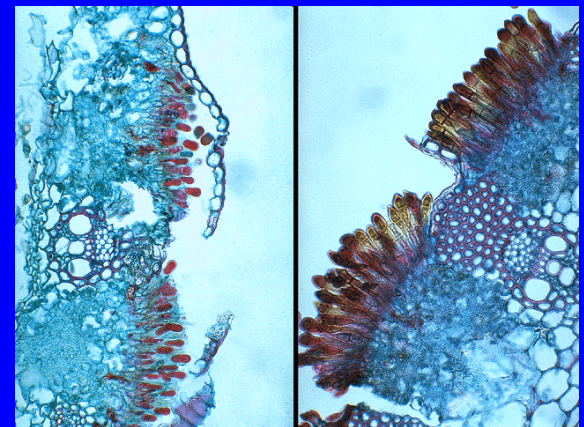
Míldios

Plasmopara, Peronospora, Bremia, etc.



Ferrugens

Puccinia, Uromyces, etc.



Liberação passiva por impacto

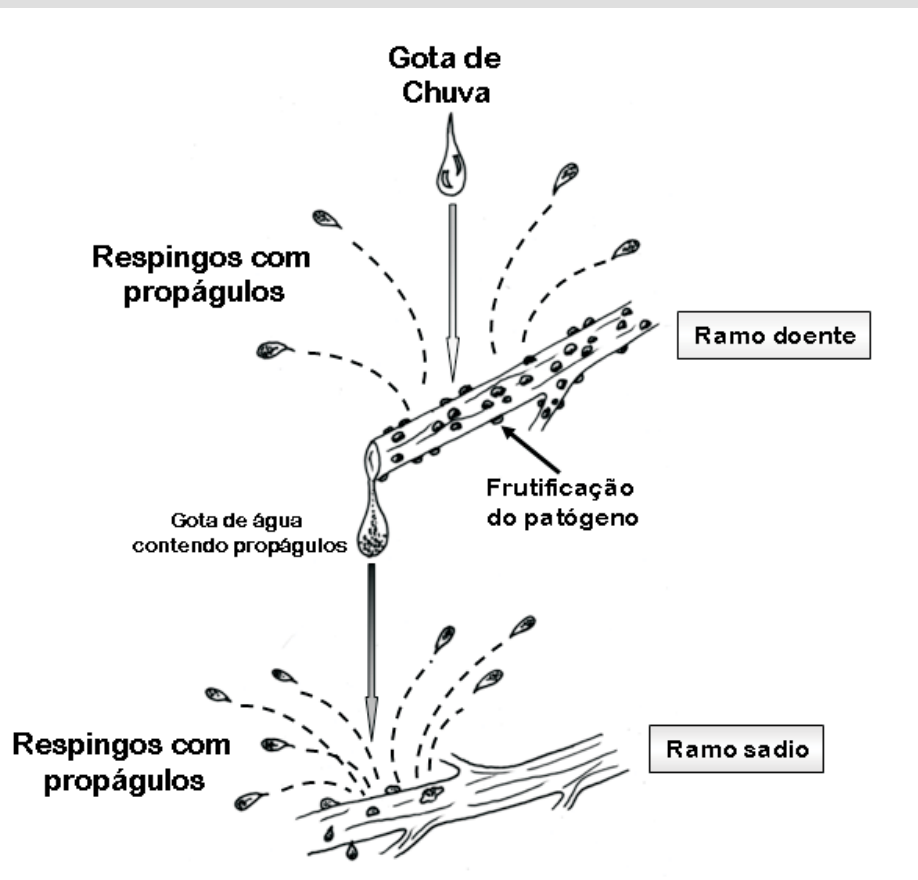
carvão da cana-de-açúcar



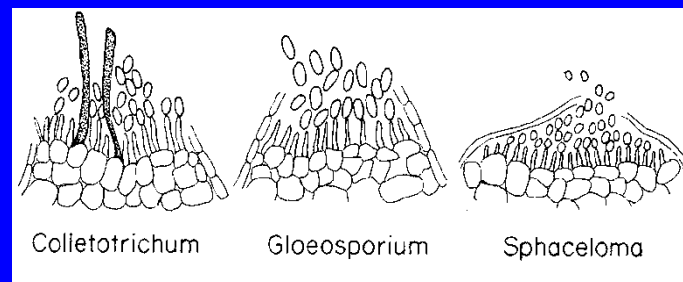
11. Teliospore cloud of *Tilletia controversa* released during harvest of plants affected by dwarf bunt. (Courtesy J. A. Hoffmann)



Liberação passiva Energia externa



Antracnose *Colletotrichum* *Sphaceloma*

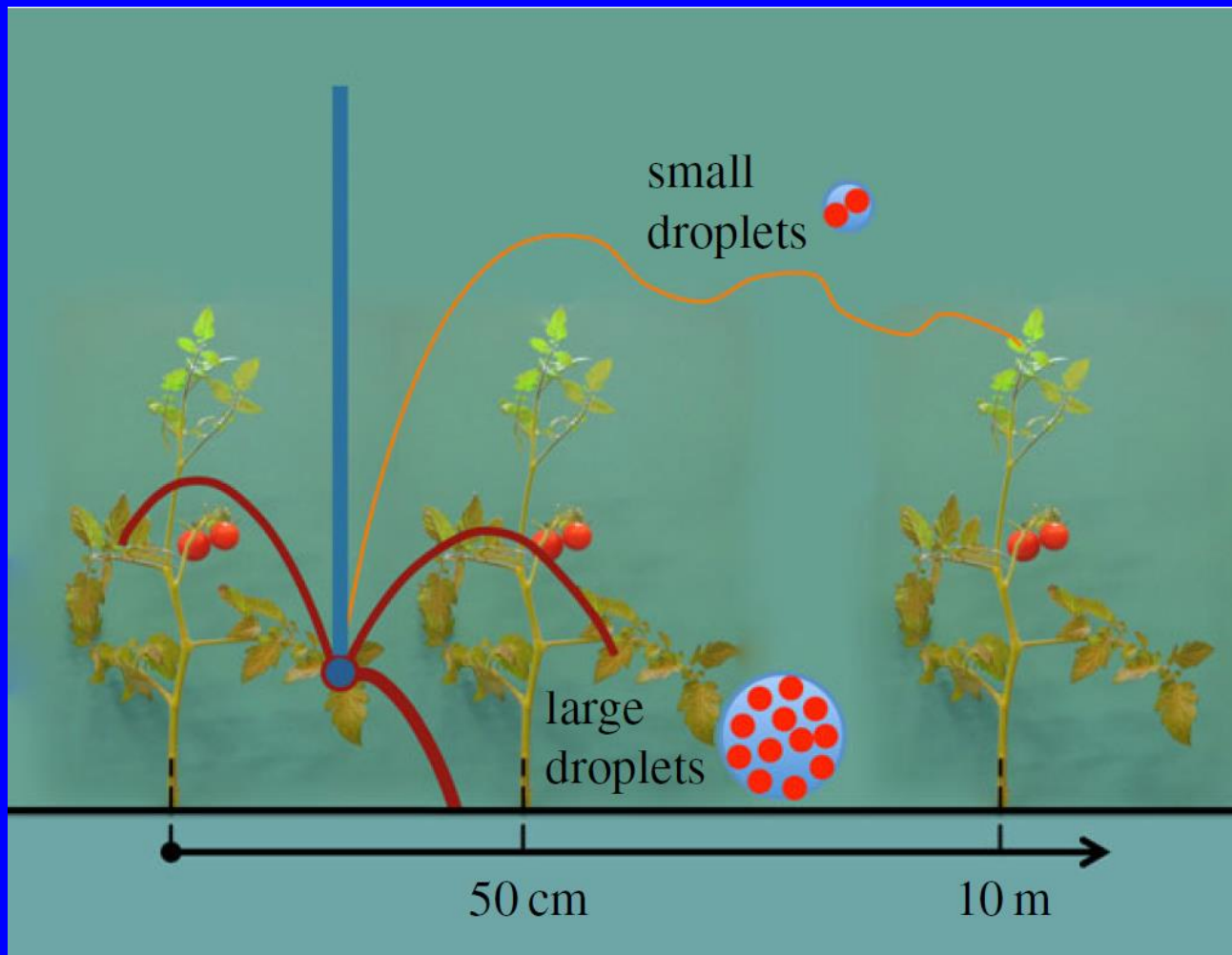


Manchas - *Septoria*



Manchas bacterianas *Xanthomonas*

Liberação passiva



Impacto de uma gota de chuva (azul) numa folha. Grandes gotas contendo vários propágulos do patógeno são arremessadas próximas à fonte, enquanto gotículas menores, contendo menor número de propágulos, podem potencialmente ser levadas pelo vento a locais mais remotos (Gilet & Bourouiba, 2015)

Liberación passiva

<https://lbourouiba.mit.edu/research/projects/fluid-fragmentation-shapes-rain-induced-foliar-disease-transmission>



Liberação passiva

Effects of Surface Topography and Rain Intensity on Splash Dispersal of *Colletotrichum acutatum*

X. Yang, L. V. Madden, L. L. Wilson, and M. A. Ellis

Postdoctoral research associate, associate professor, research assistant, and professor, respectively, Department of Plant Pathology, The Ohio State University and Ohio Agricultural Research and Development Center, Wooster, Ohio 44691.

Research support and salaries provided by state and federal funds (especially USDA Competitive Grant 87-CRCR-1-2307) appropriated to Ohio Agricultural Research and Development Center, The Ohio State University. Journal Article 105-90.

Use of trade names implies neither endorsement of products by the authors, nor criticism of similar ones not mentioned.

Accepted for publication 31 May 1990 (submitted for electronic processing).

ABSTRACT

Yang, X., Madden, L. V., Wilson, L. L., and Ellis, M. A. 1990. Effects of surface topography and rain intensity on splash dispersal of *Colletotrichum acutatum*. *Phytopathology* 80:1115-1120.

Effects of ground cover, plant canopy density, and rain intensity on the splash dispersal of *Colletotrichum acutatum* were studied using a rain simulator. In one experiment, three ground covers (soil, straw, and plastic) and two rain intensities (15 and 30 mm/hr) were evaluated by collecting splash droplets with conidia in sheltered gravity samplers consisting of petri plates with a selective medium for *C. acutatum*. Ground covers were characterized by random roughness, the standard deviation of surface elevation. Infected fruits with sporulating lesions were clustered on the ground to serve as the inoculum source. Sampling plates were positioned 20, 40, 60, 80, 100, and 120 cm from the source and were exposed to rain for 1-min periods (every 5 min) for a total duration of 46 min. Ground cover had a major effect on splash dispersal, as measured by colonies growing in selective medium. The estimated total number of colonies over time and space (N) was inversely proportional to roughness; i.e., straw had the largest random roughness but the lowest N , and

plastic the opposite. Differences in N among ground covers were due to differences in steepness of the dispersal gradients (i.e., straw had the steepest gradient and plastic the shallowest), not to the release rate of spores at the source. Total number of colonies increased with rain intensity, but the effect was due to the release rate, as measured by the intercept parameter of a gradient model. Rain intensity did not influence gradient steepness. The effect of plant canopy density on splash dispersal of *C. acutatum* was evaluated in a second experiment using a soil ground cover. Leaf area index (LAI) was inversely related to N . Cross-row dispersal of spores was reduced by 90% or more for two rows of plants with LAI ≥ 2.7 compared to no plant rows. Results support the hypothesis that surface topography (including ground cover and plant canopy) is a major factor controlling splash dispersal due to its effect on splash droplet trajectories and loss of inoculum.

Additional keywords: disease spread, *Fragaria* \times *anassa*, quantitative epidemiology.

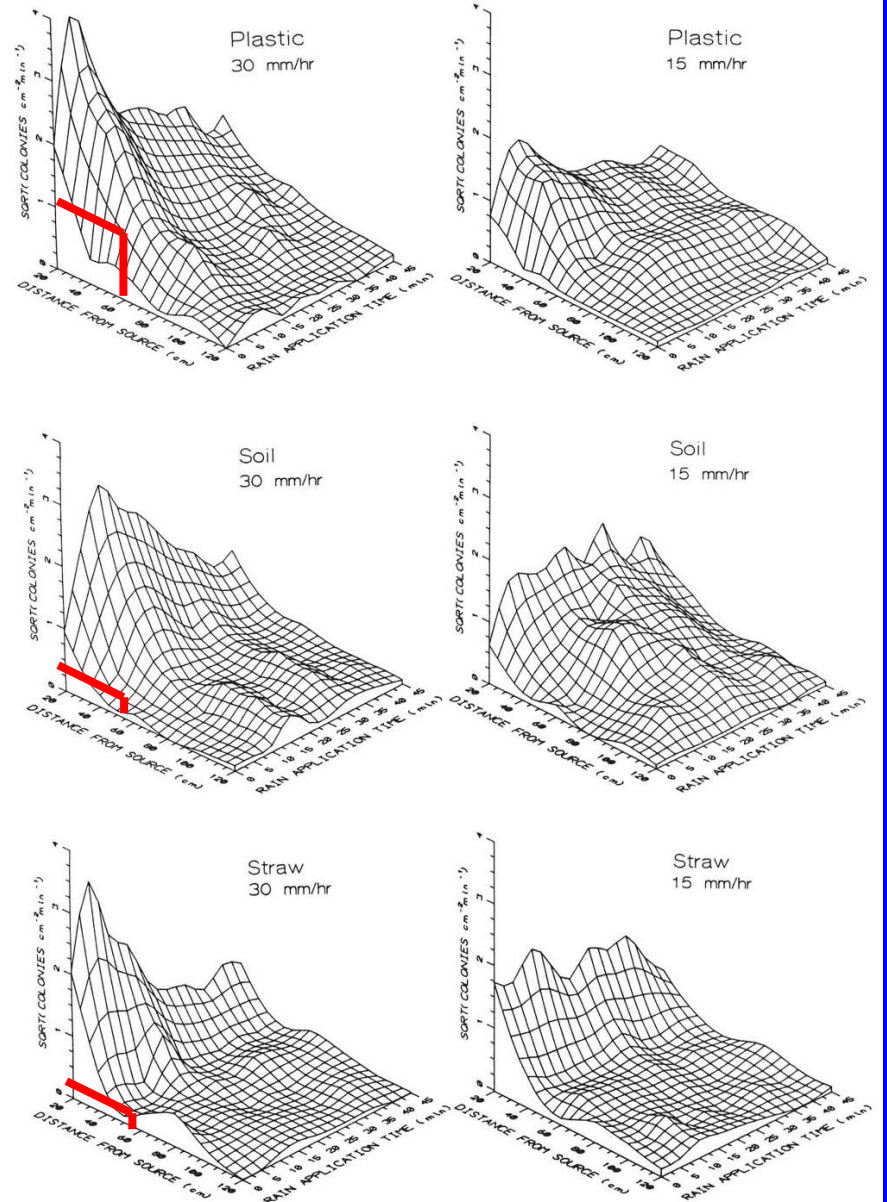


Fig. 2. Spatial and temporal patterns of colonies ($n, \text{cm}^{-2} \text{min}^{-1}$) of *Colletotrichum acutatum* due to rain splashing with intensities of 15 and mm/hr for plastic, soil, and straw ground covers. Points represent the means of four replications. The square-root scale was chosen to better illustrate the data beyond 60 cm from the source, where few colonies were observed.

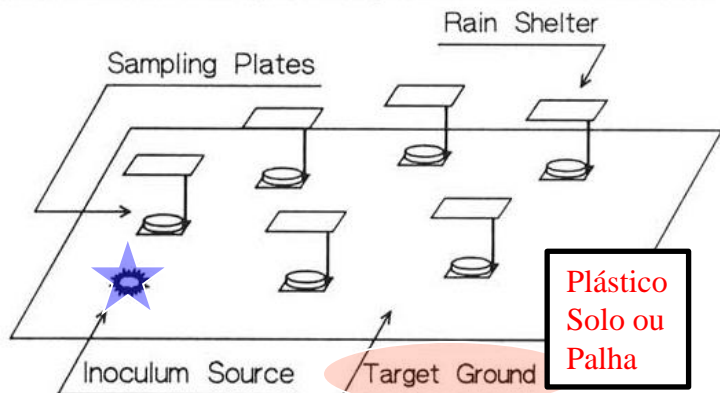
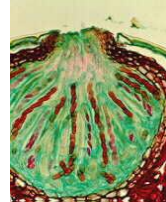


Fig. 1. Overview of the experimental arrangement of source fruit and sampling plates.

Liberação ativa Energia do patógeno

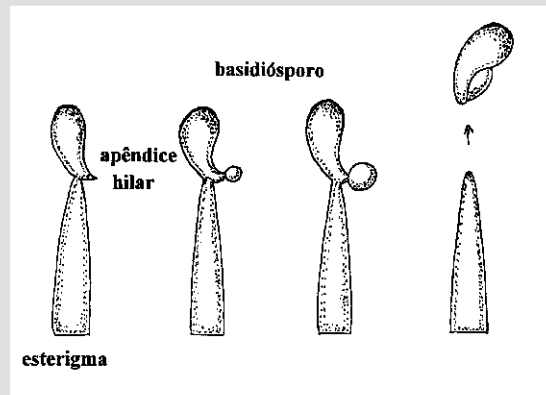
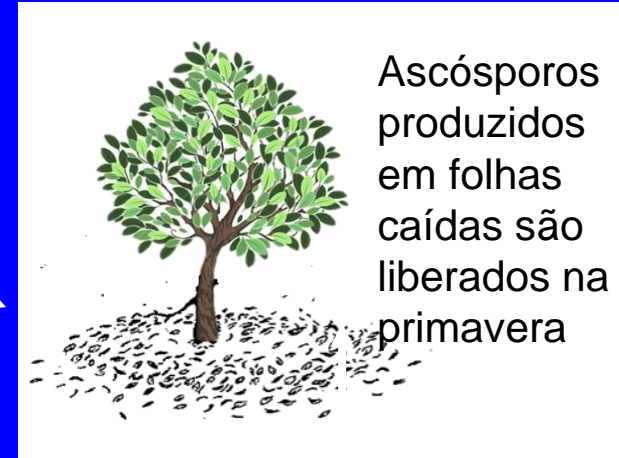
ascósporos
maduros



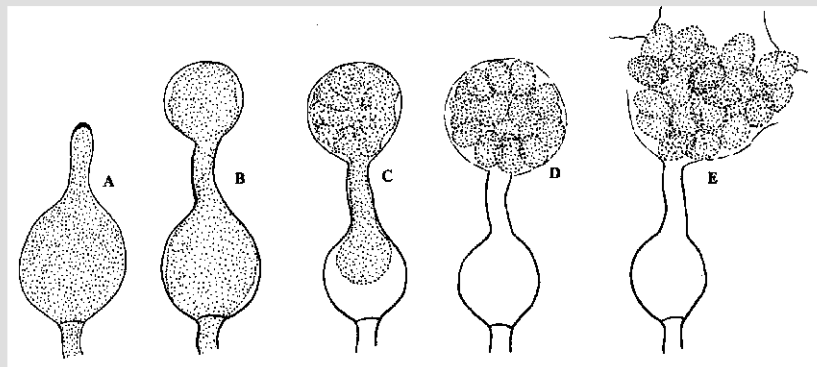
liberados



Ascomycetos



Basidiomicetos



Pythium sp.

liberação ativa

Projeção de ascósporos



Monilia em "blueberry"

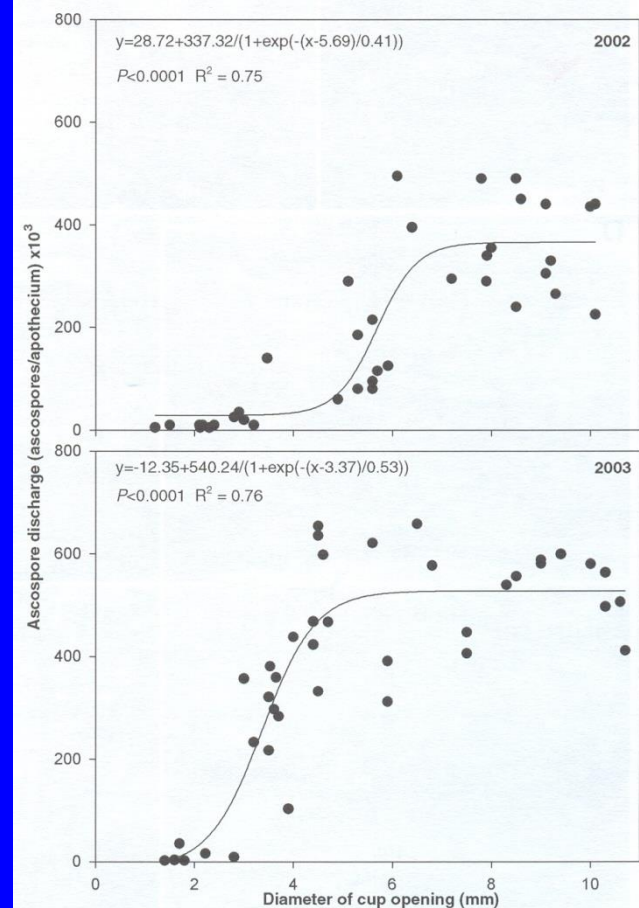
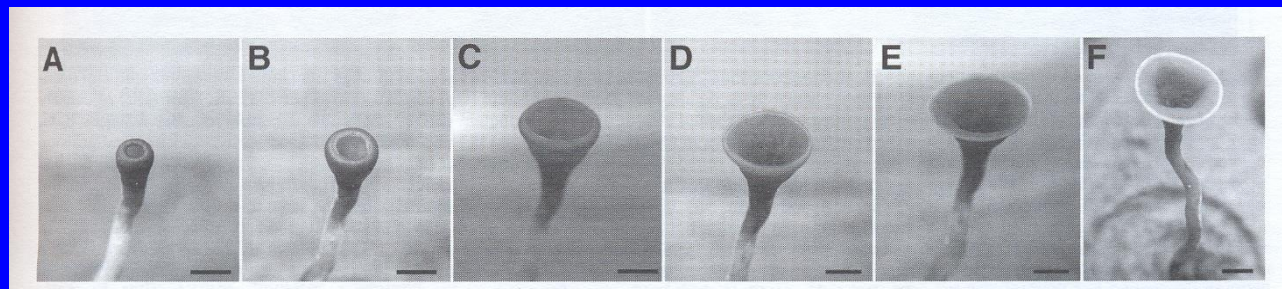
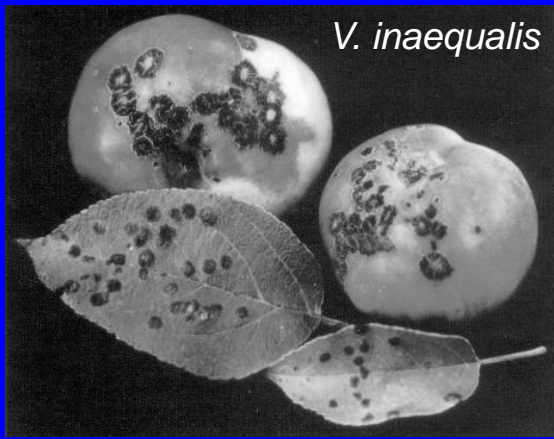


Fig. 2. Relationship between apothecium cup size and total number of ascospores discharged per day by apothecia of *Monilia vaccinii-corymbosi* in experiments carried out in 2002 and 2003.

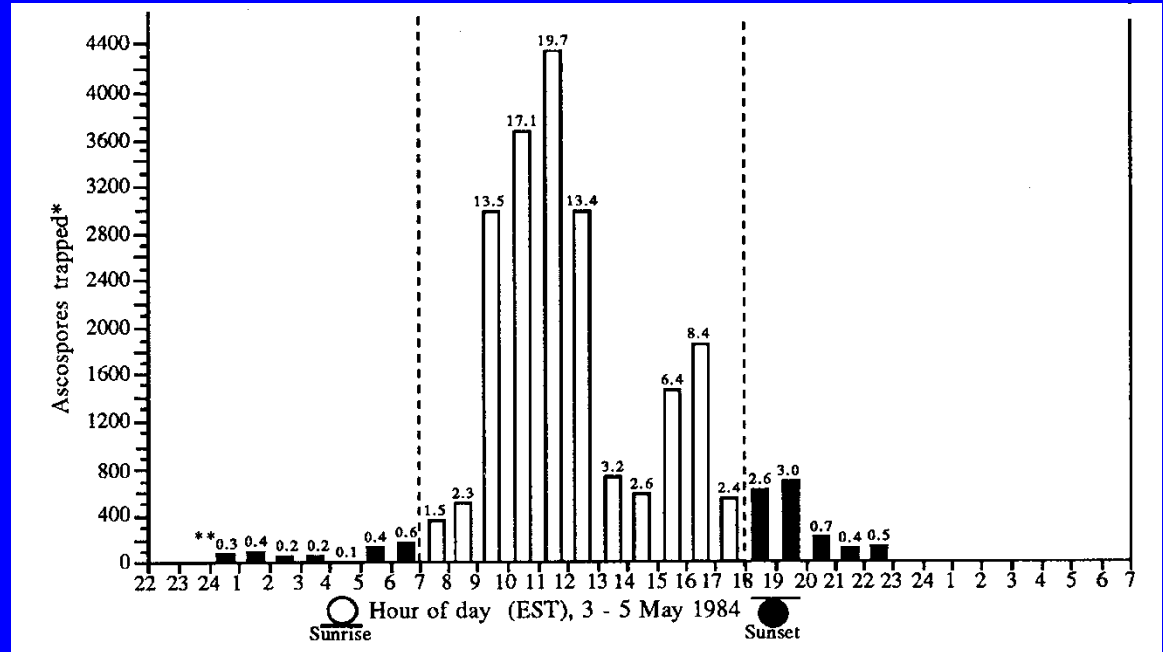
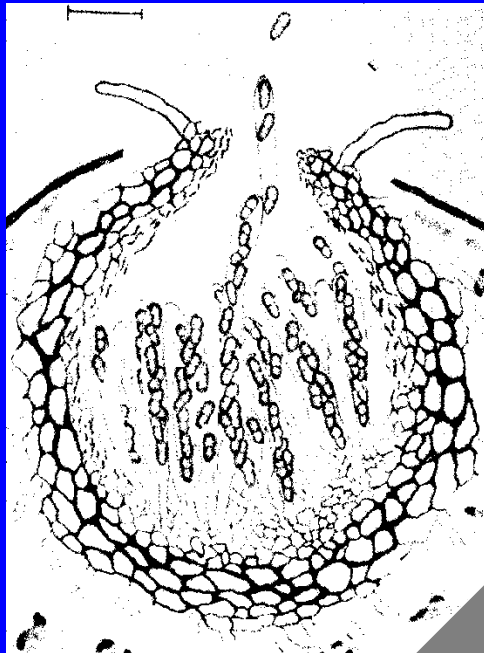


Barras
= 5 mm



liberação ativa

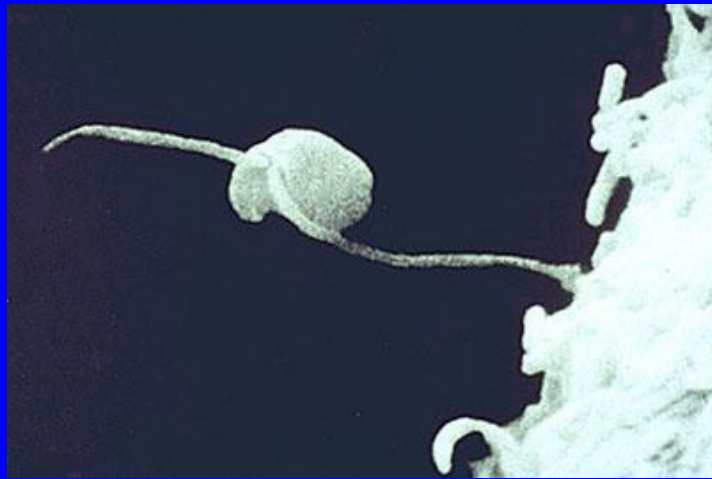
Projeção de ascósporos



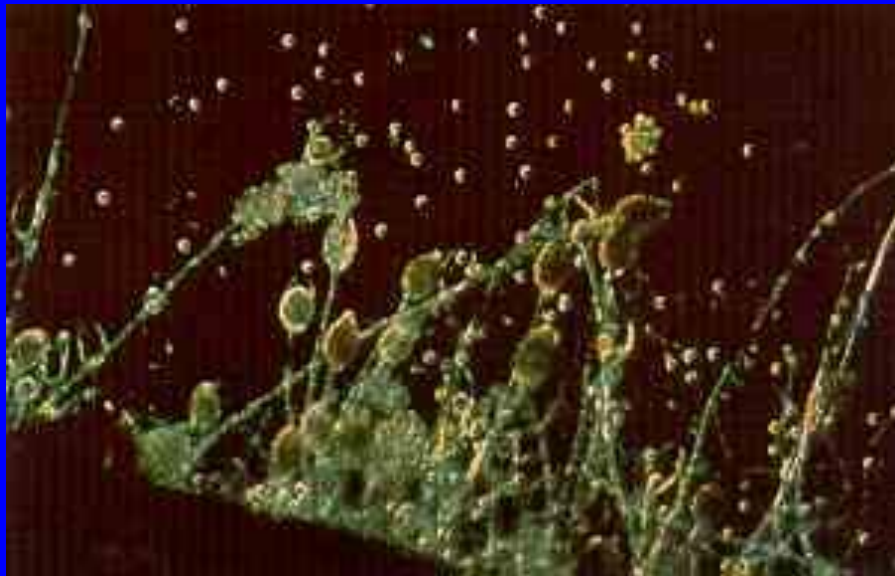
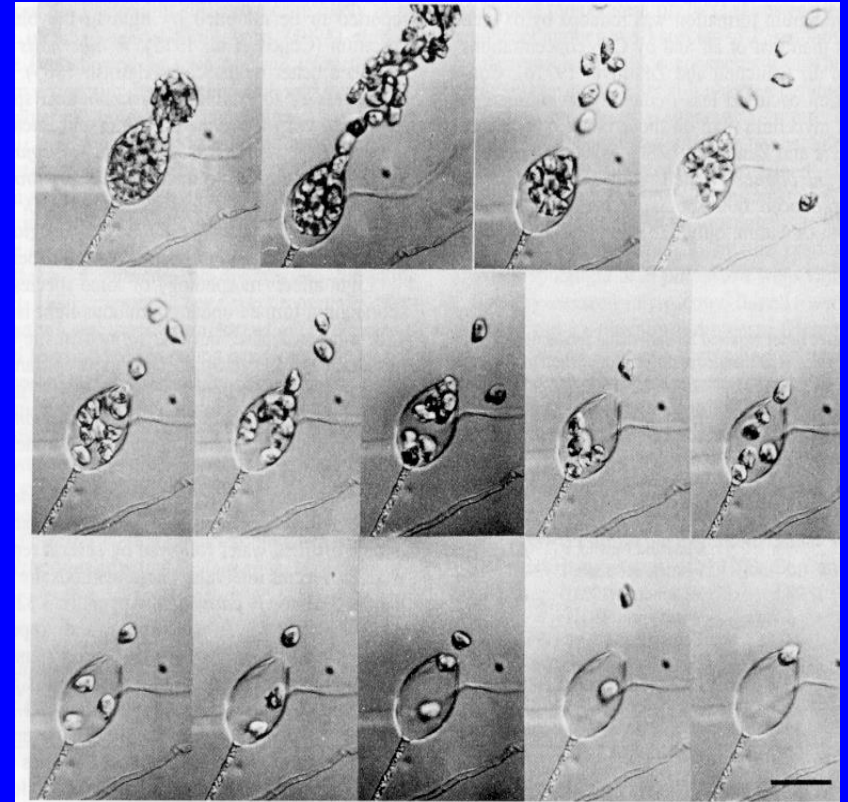
Liberação diária de *Venturia inaequalis*

Ciclo circadiano

Ciclo próprio de cada espécie manifestado por variações periódicas de acordo com o momento do dia sob condições ambientais constantes



liberação ativa



esporângios e zoósporos de
Phytophthora cinamomi
em água

liberação de zoósporos de
Phytophthora medicaginis

Dispersão



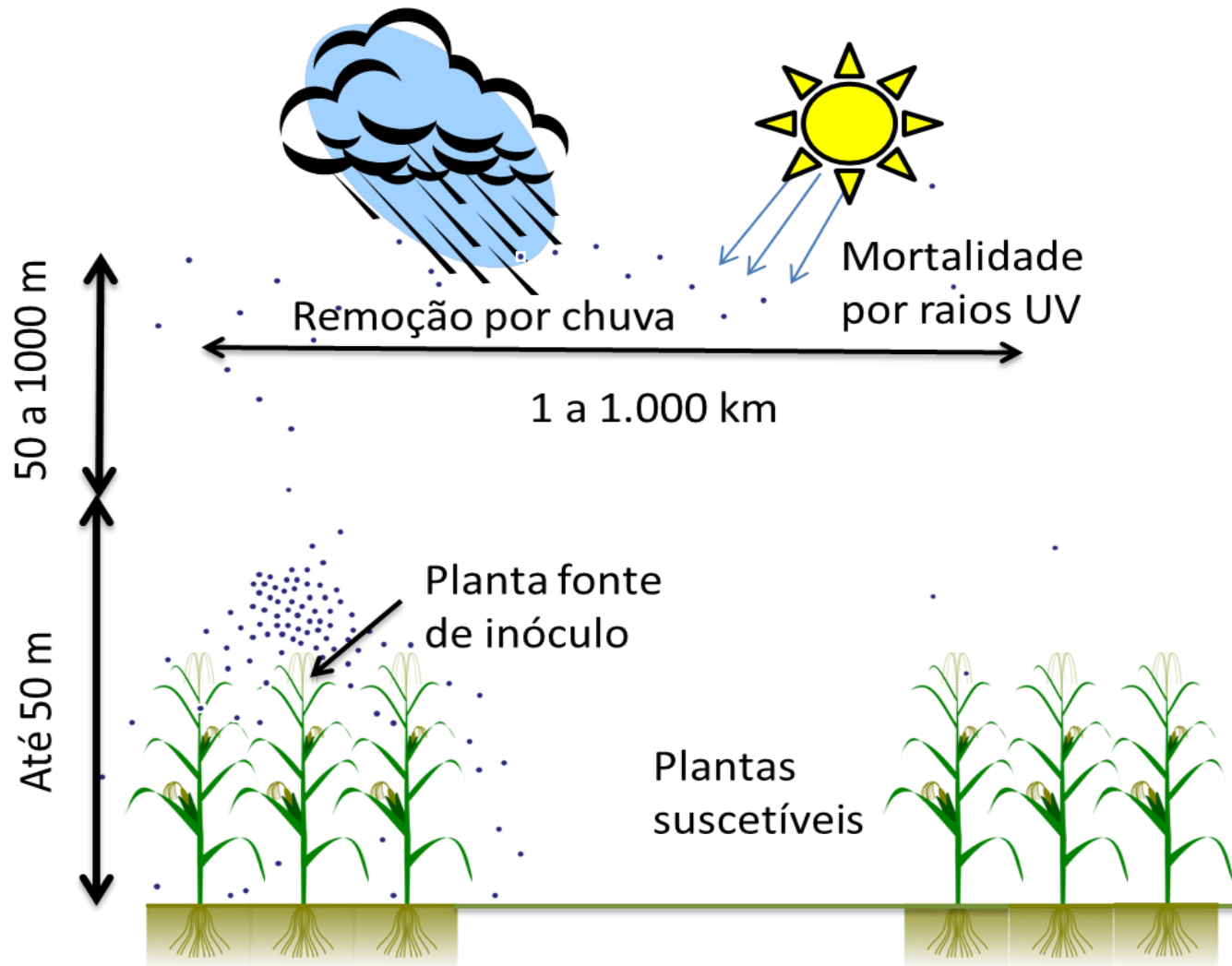
Agentes de Dispersão

Ar

Curtas distâncias (camada de turbulência)
Longas distâncias (camada convectiva)

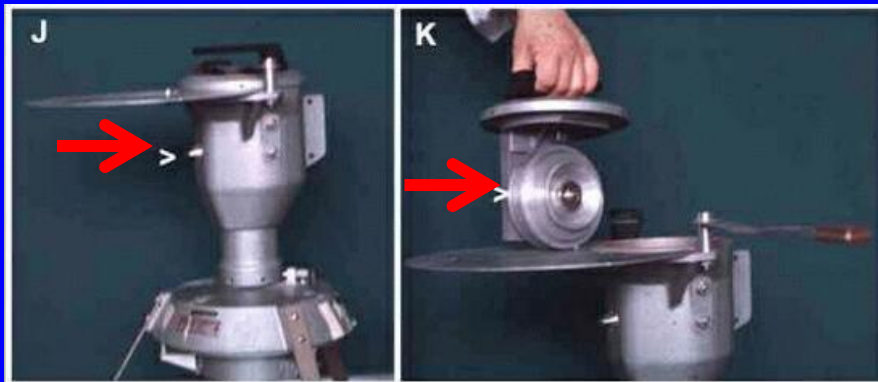
Fungos, Nematoides

Dispersão a curtas e longas distâncias pelo ar



Dispersão pelo ar

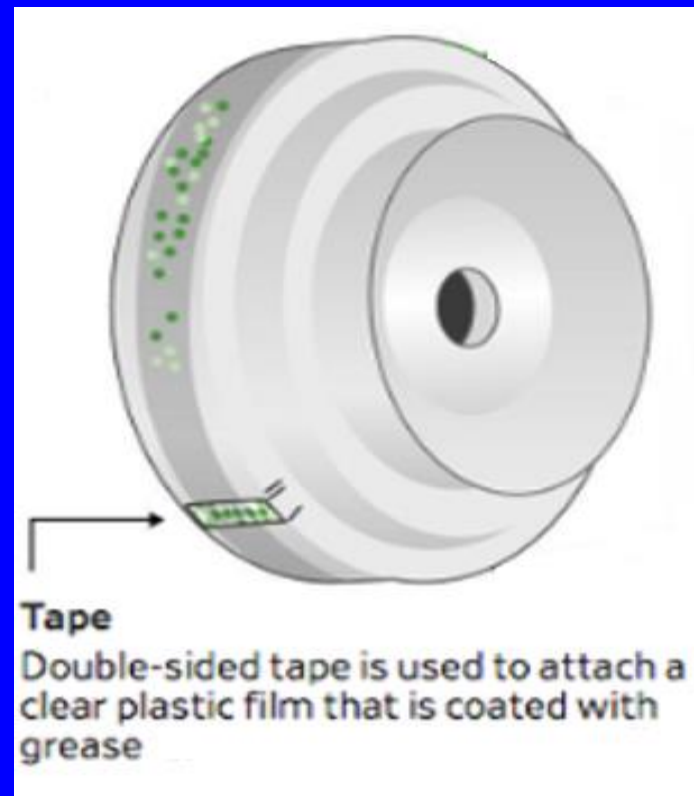
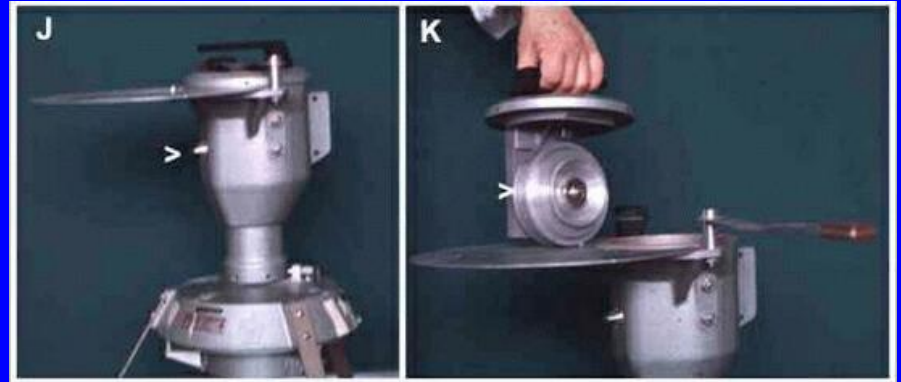
Como medir o transporte de esporos?



Armadilha
Burkard

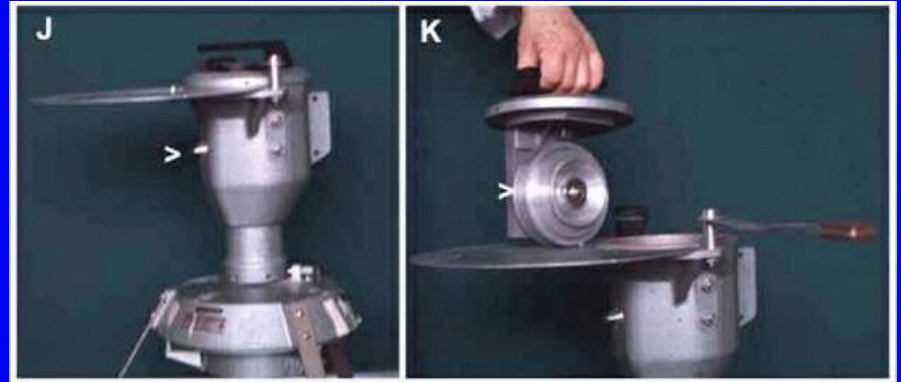
Dispersão pelo ar

Como medir o transporte de esporos?



Dispersão pelo ar

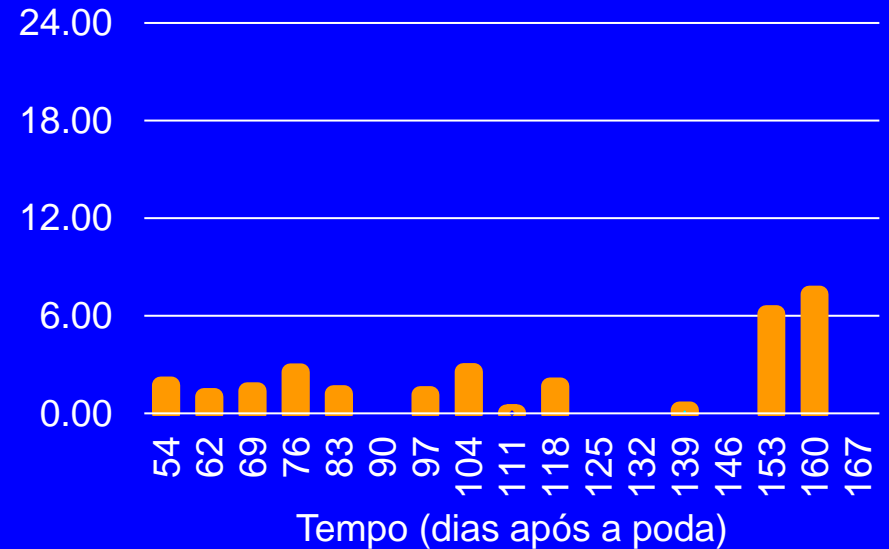
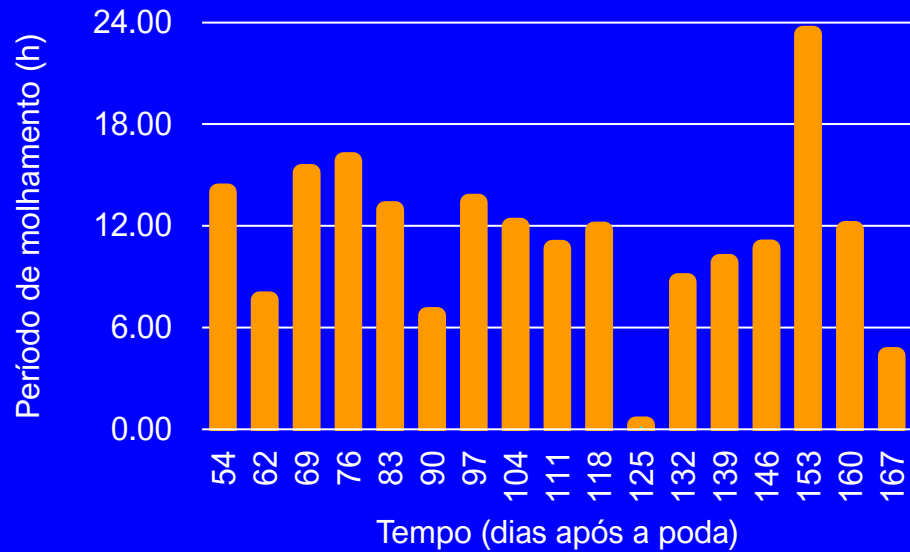
Como medir o transporte de esporos?



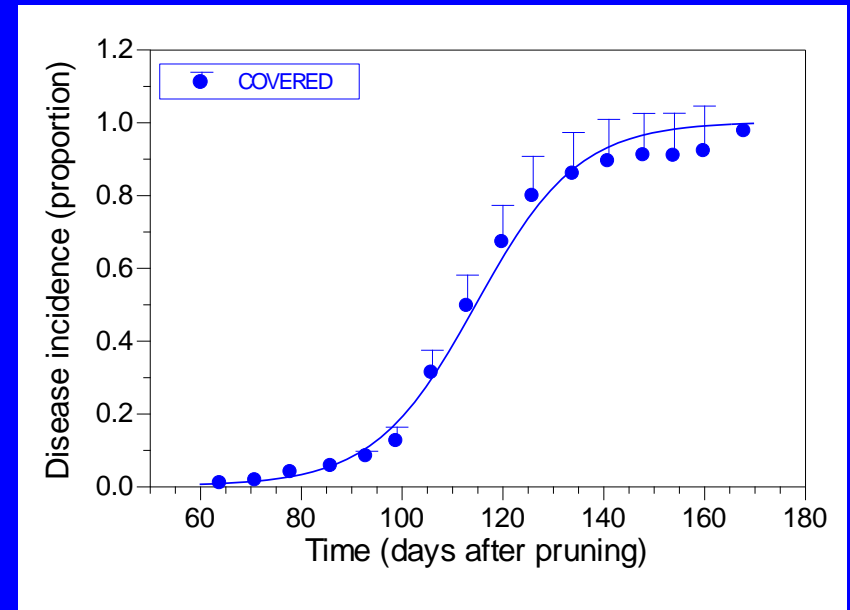
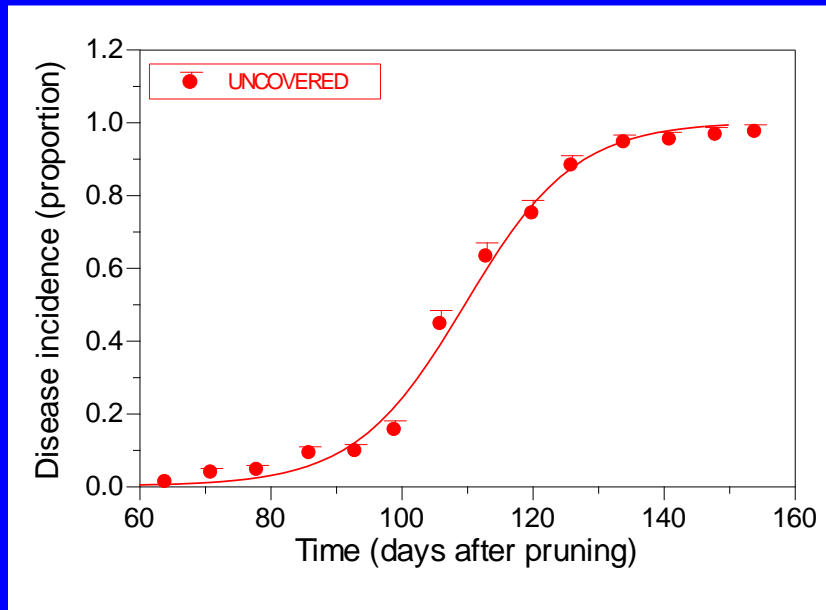
Dispersão a curtas distâncias pelo ar



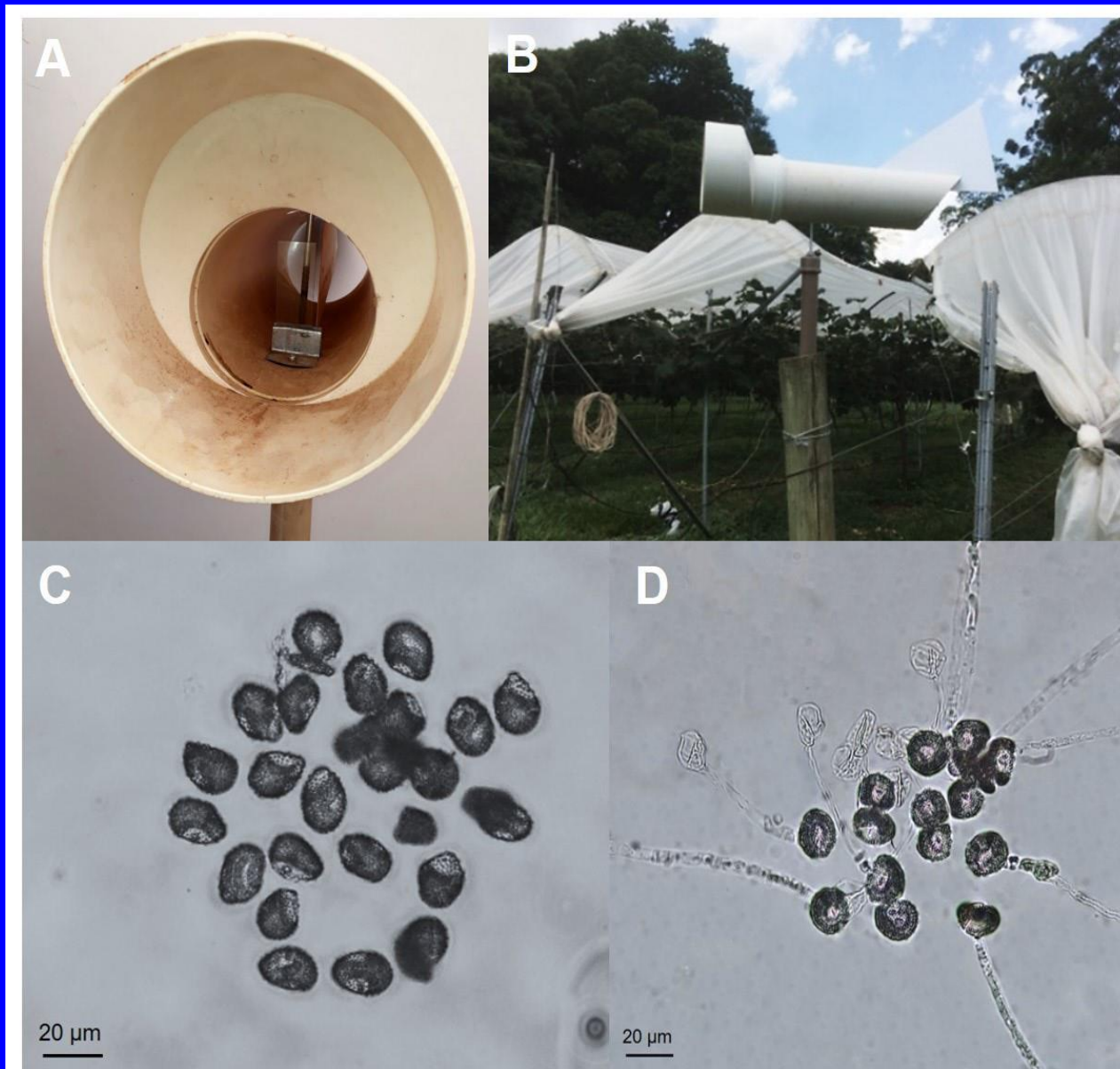
Dispersão a curtas distâncias pelo ar



Dispersão a curtas distâncias pelo ar



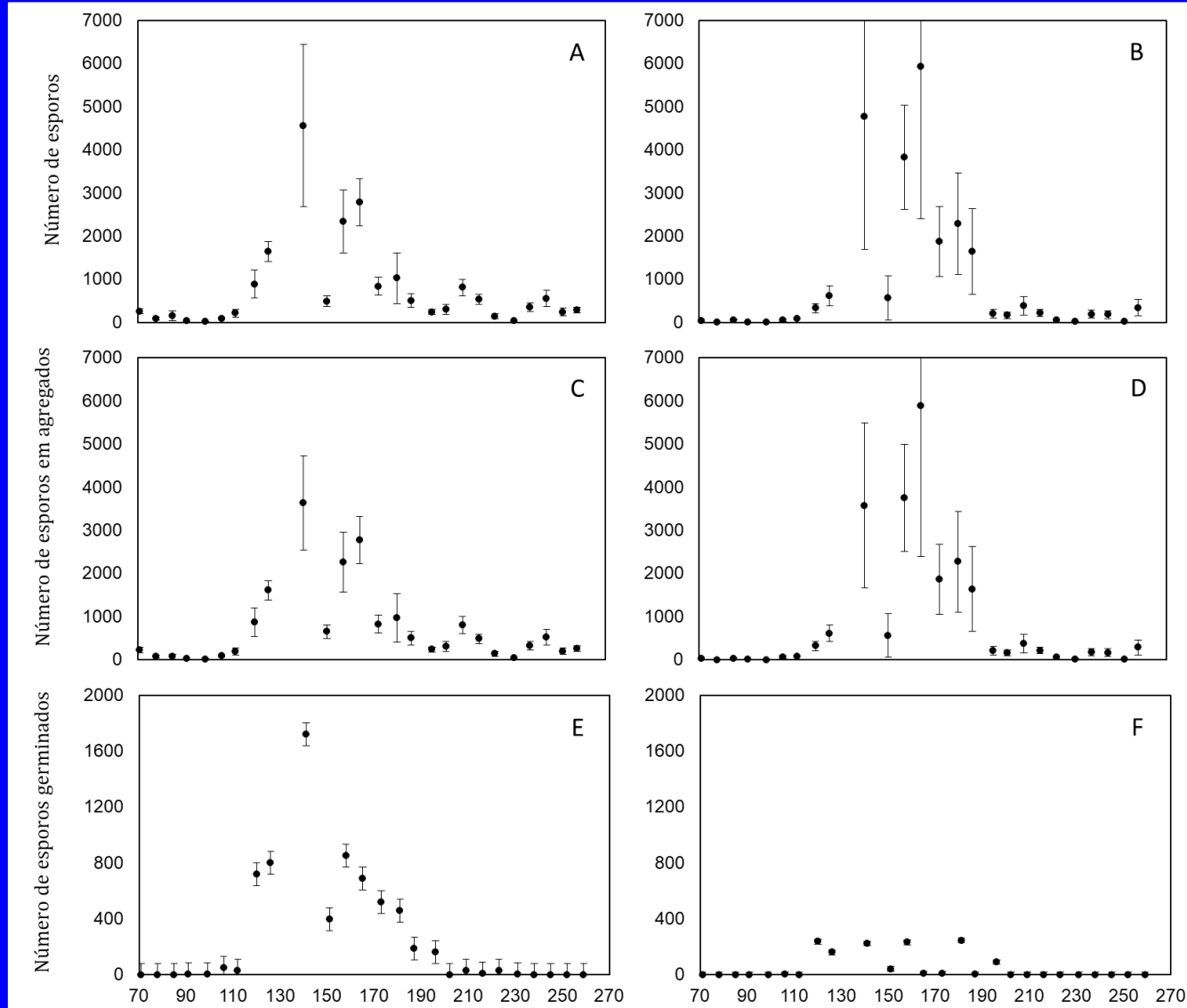
Dispersão a curtas distâncias pelo ar



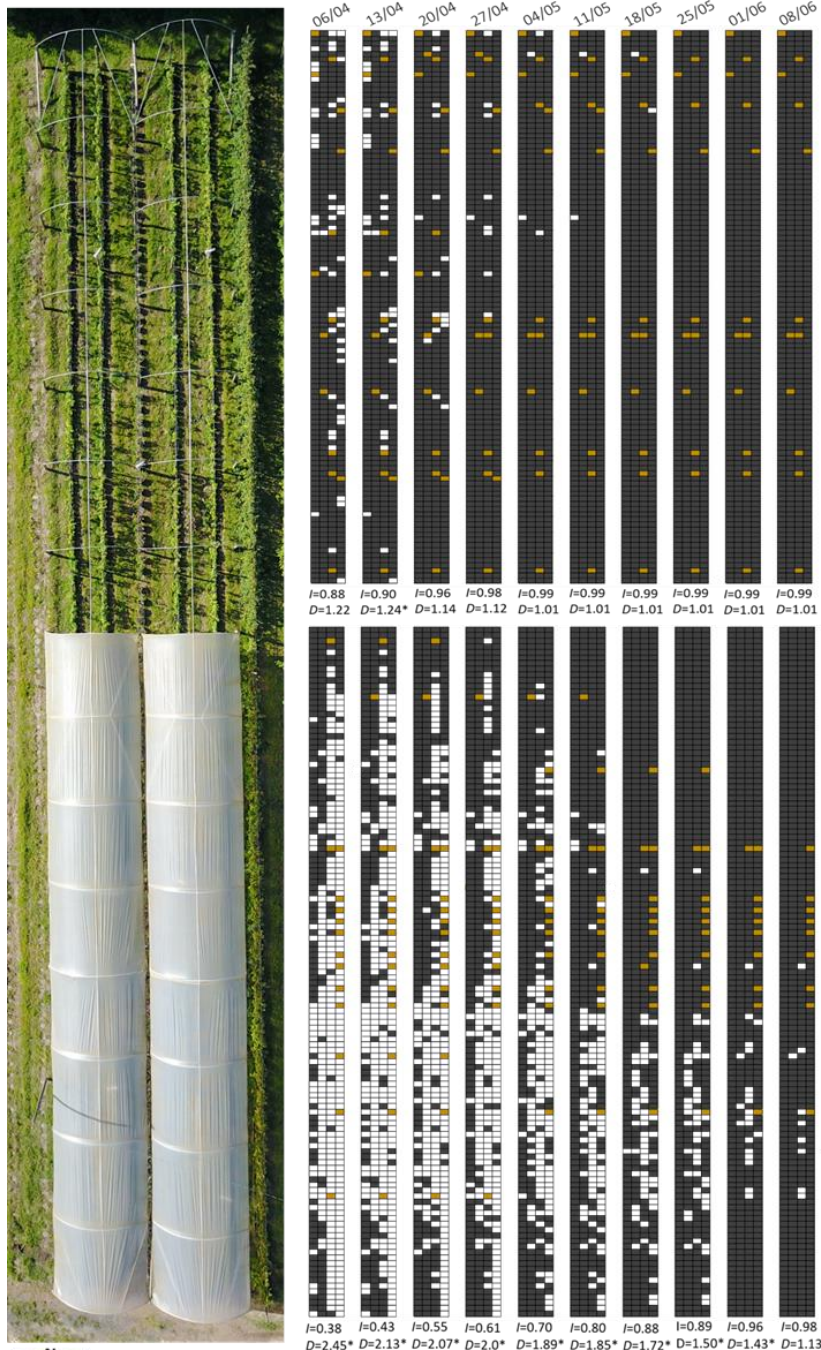
Dispersão a curtas distâncias pelo ar

Descoberto

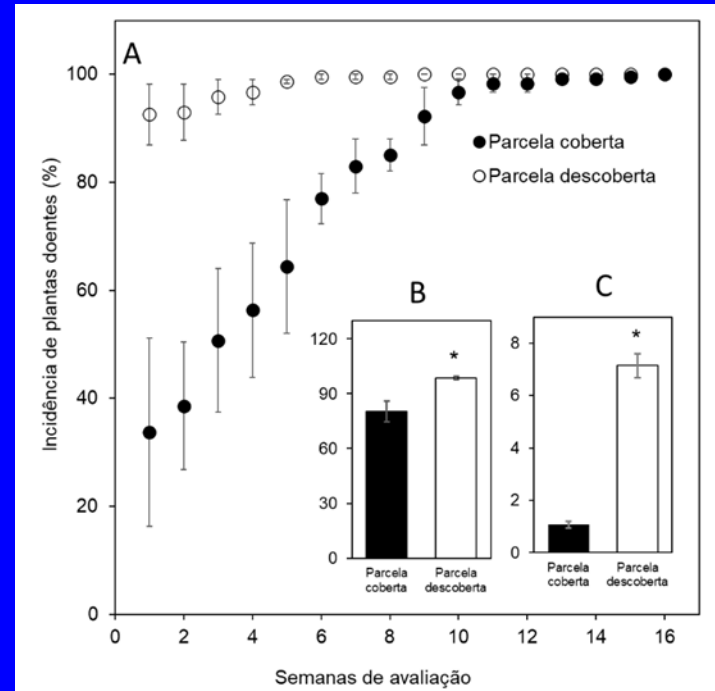
Coberto



Dispersão a curtas distâncias pelo ar



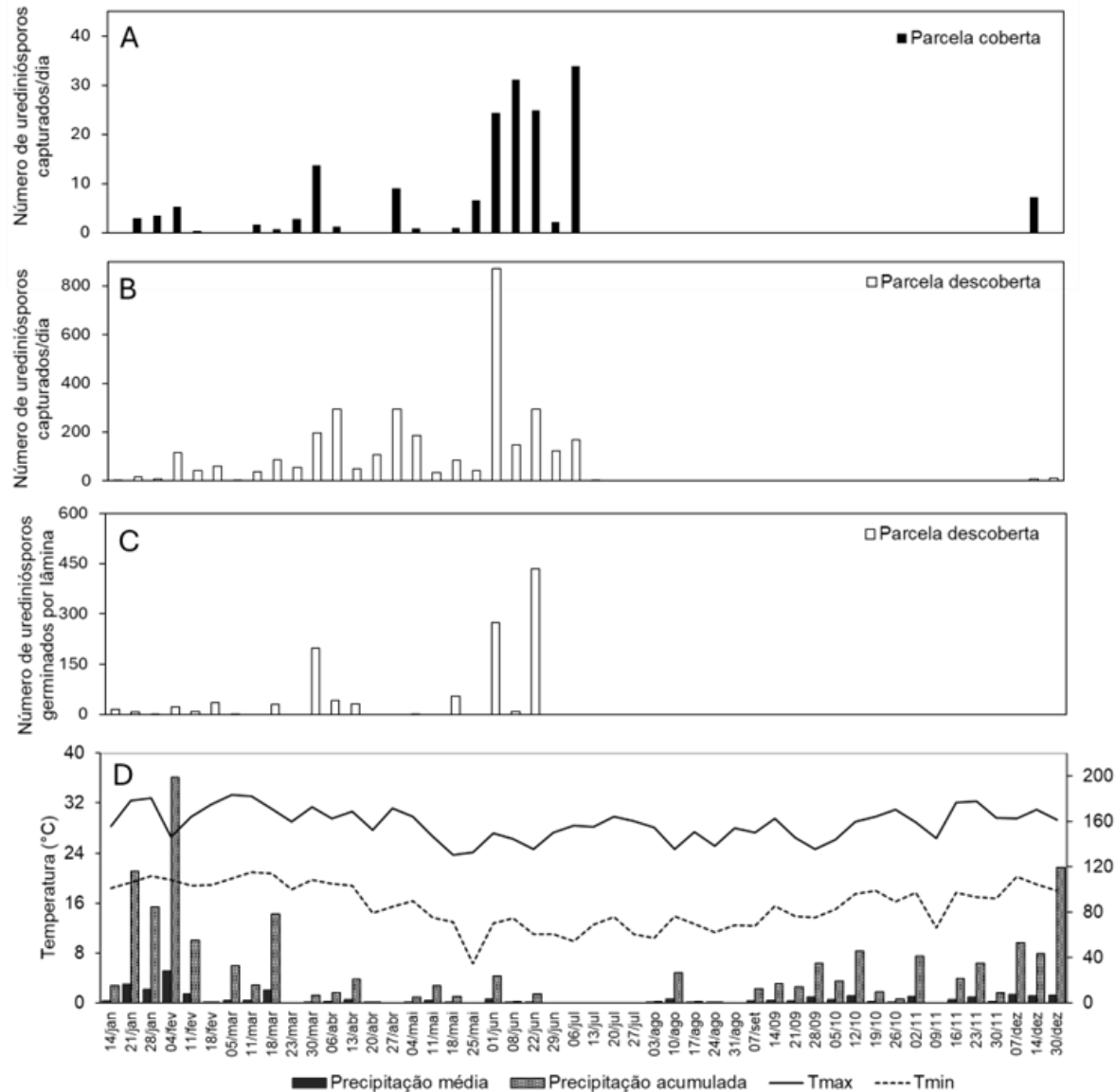
□ Plantas saudias ■ Plantas sintomáticas ■ Plantas faltantes



A- Progresso temporal da doença; B- Área abaixo da curva de progresso da doença (AACPD) calculada para incidência da doença; C- Área abaixo da curva de progresso da doença (AACPD) calculada para severidade nos folíolos

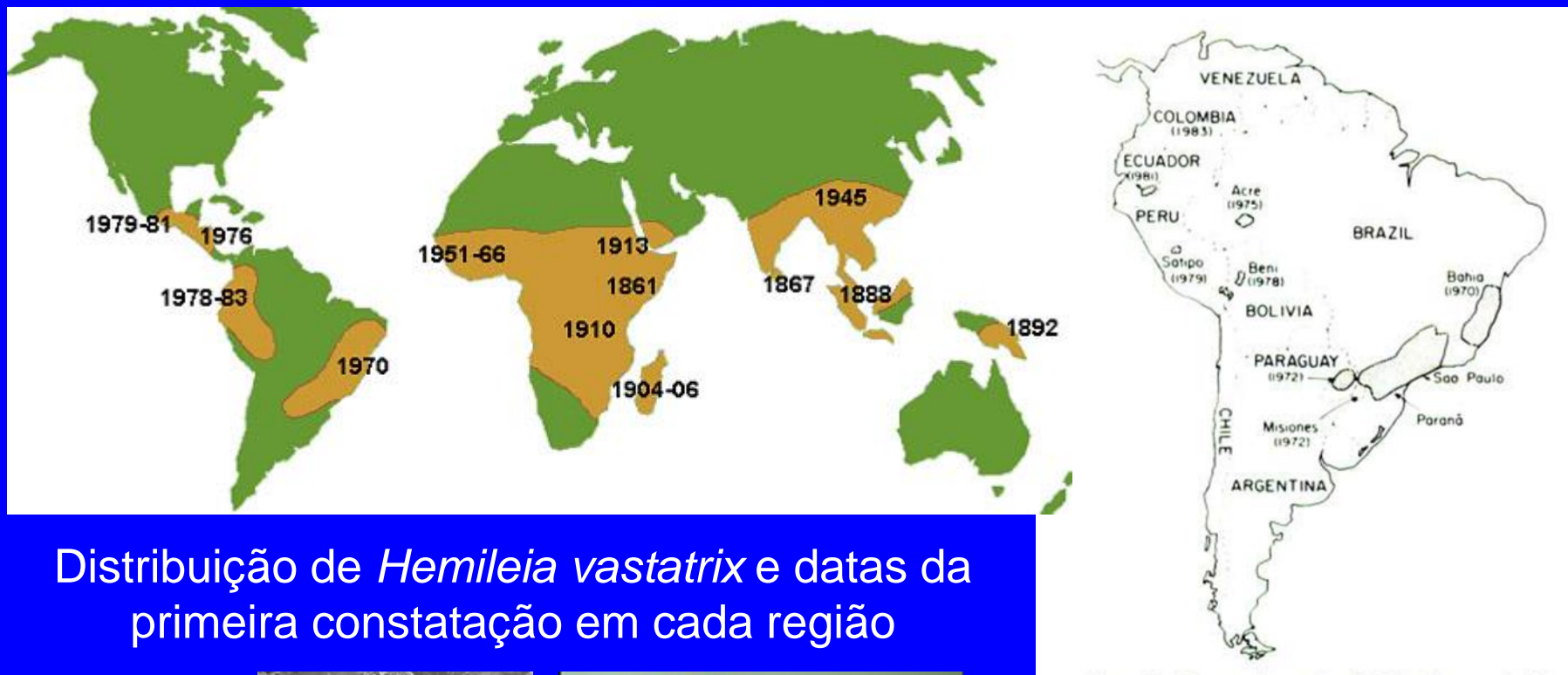
(Azevedo não publicado)

Dispersão a curtas distâncias pelo ar



Dispersão a longas distâncias pelo ar

Ferrugem do cafeeiro – *Hemileia vastatrix*

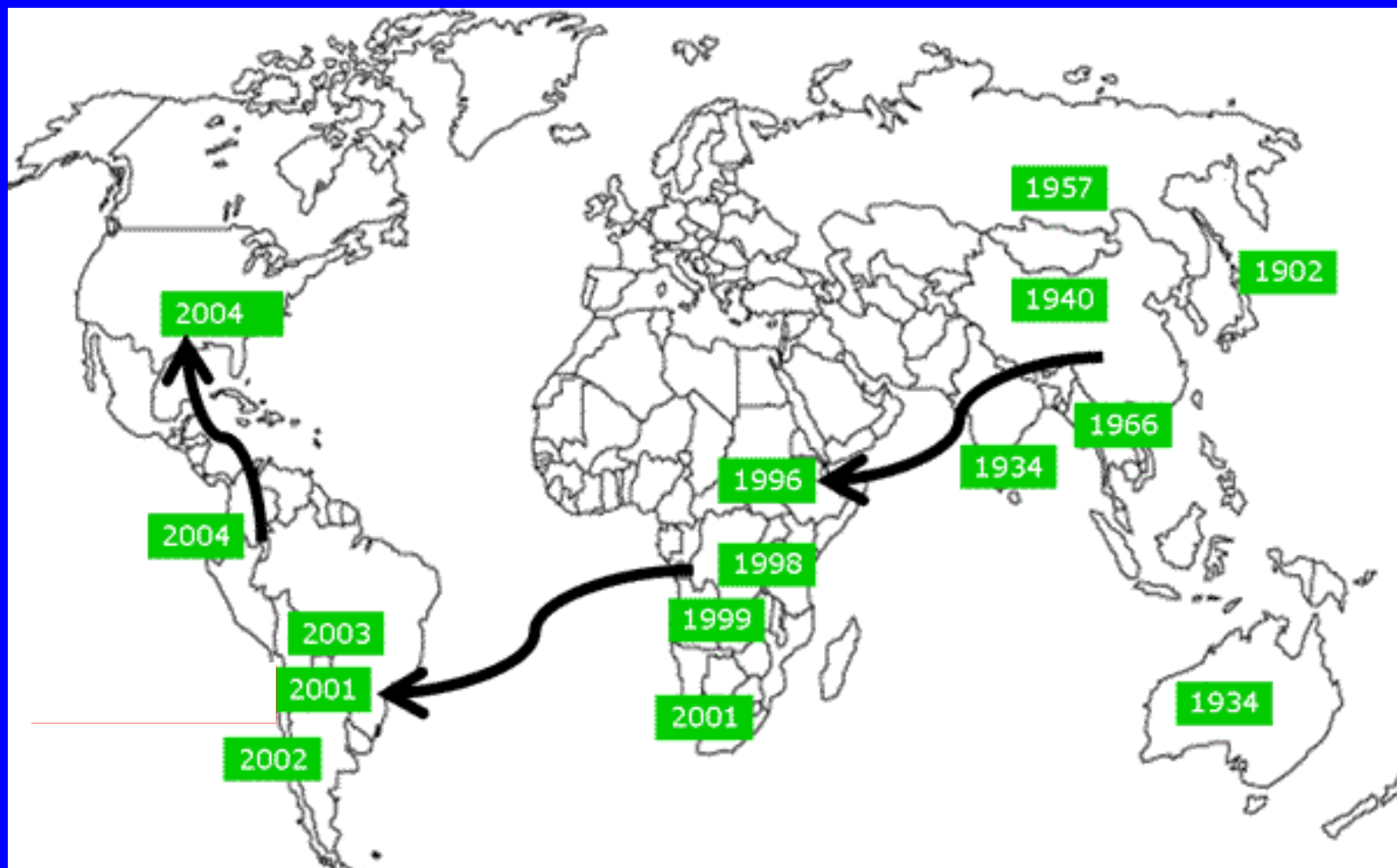


Distribuição de *Hemileia vastatrix* e datas da primeira constatação em cada região



Dispersão a longas distâncias pelo ar

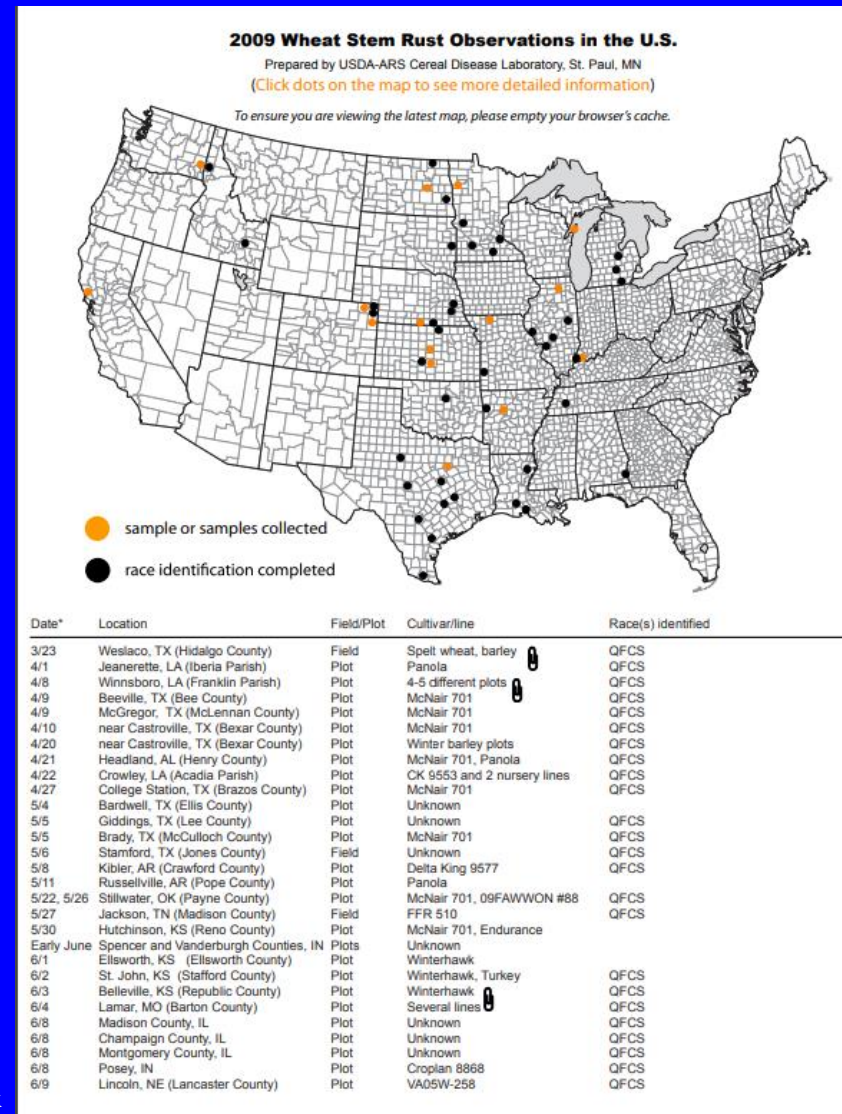
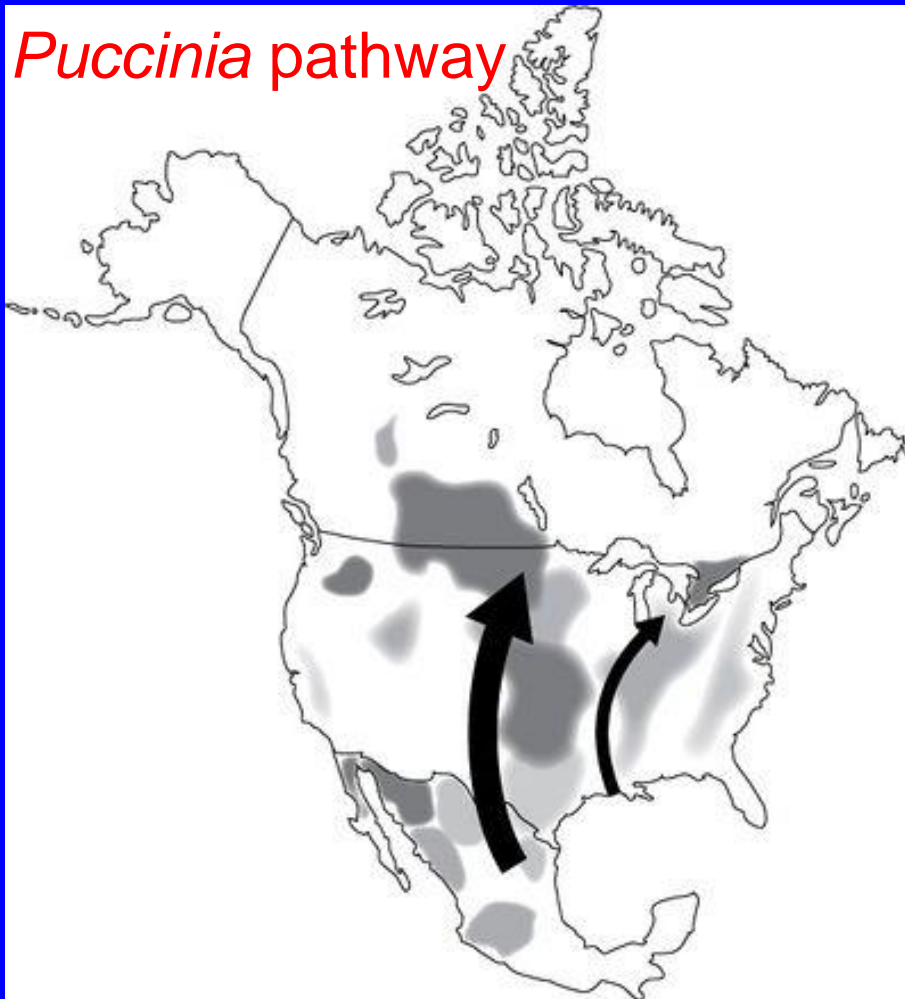
Ferrugem da soja – *Phakopsora pachyrhizi*



Dispersão a longas distâncias pelo ar

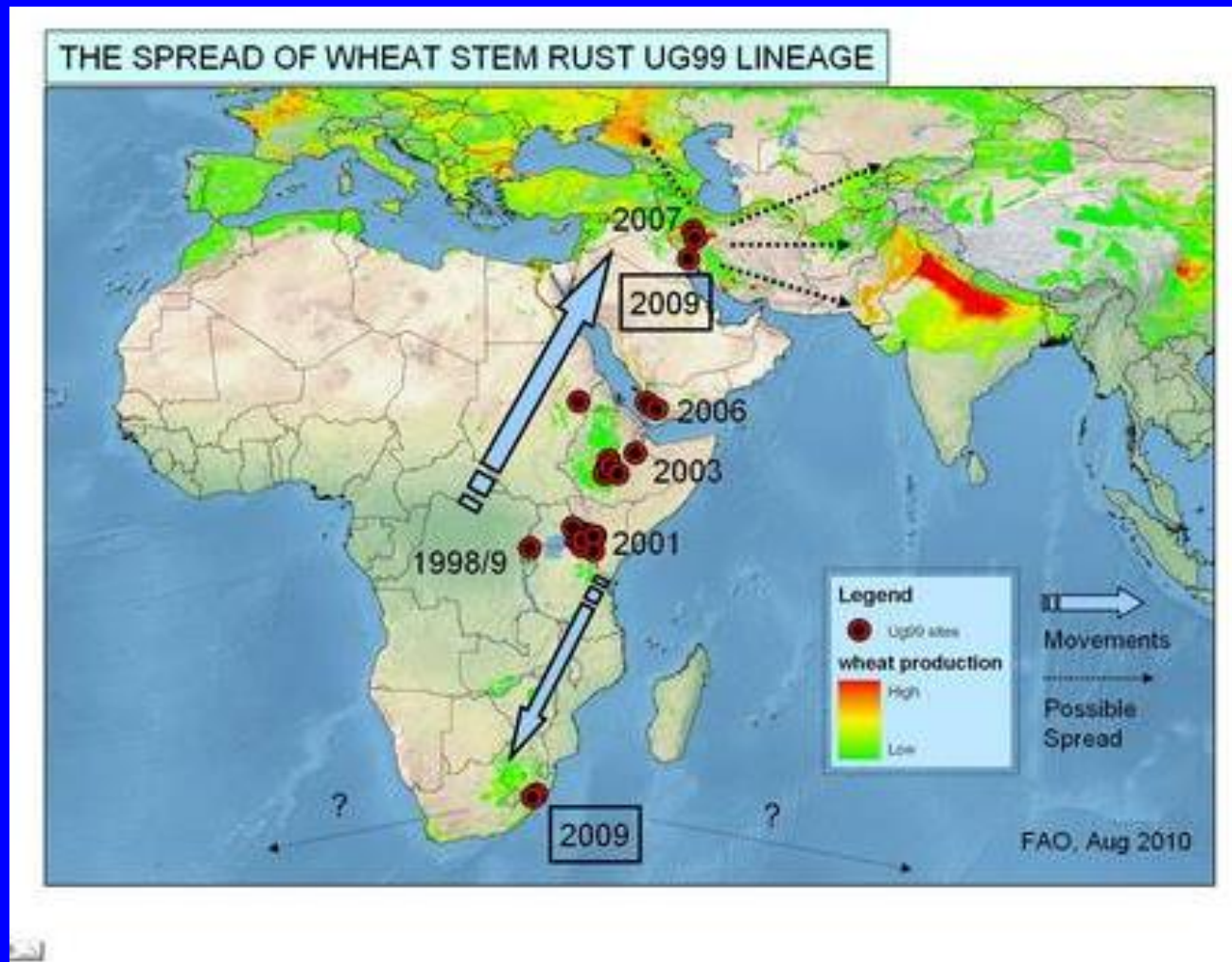
Ferrugem do trigo – *Puccinia graminis* f. sp. *tritici*

Puccinia pathway



Dispersão a longas distâncias pelo ar

Ferrugem do colmo do trigo – *Puccinia graminis* f. sp. *Tritici*
Linhagem UG99 quebrou a resistência de *Sr31* e *Sr38*



Agentes de Dispersão

Ar

Curtas distâncias (camada de turbulência)
Longas distâncias (camada convectiva)

Fungos, Nematoides

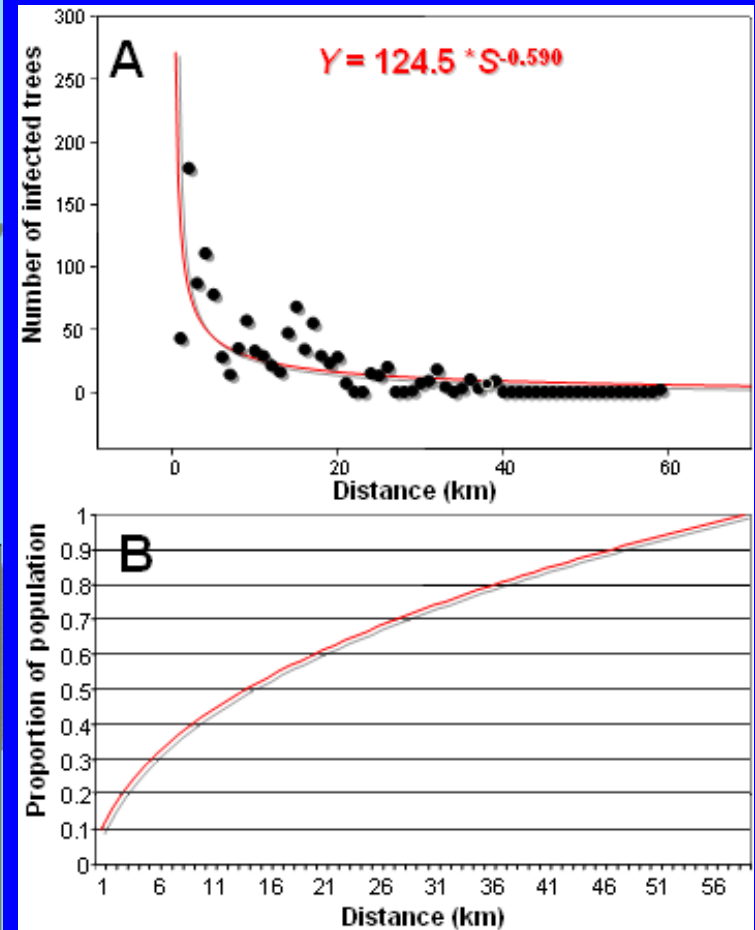
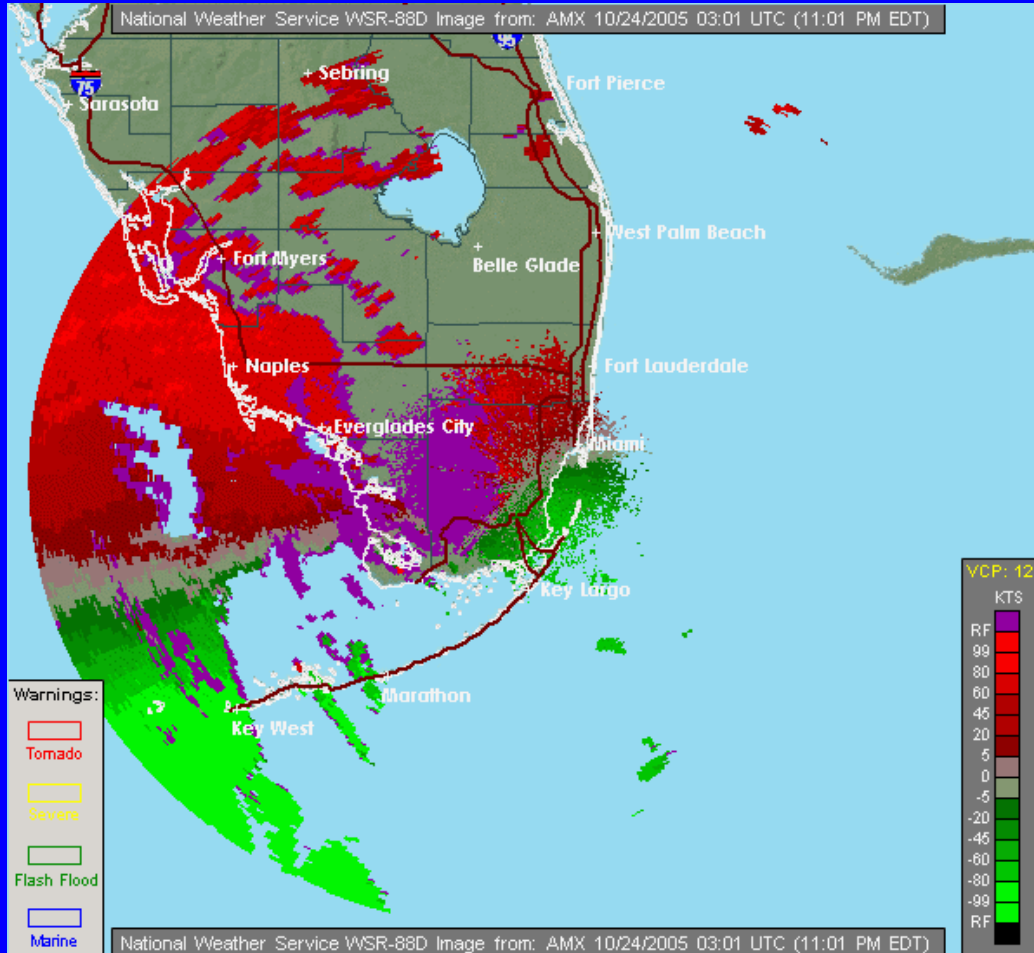
Água

Respingos
Enxurrada
Aerossóis

Bactérias
Fungos
Nematoides

Dispersão a longas distâncias

Cancro cítrico na Flórida - efeito de furacões



<http://www.apsnet.org/online/feature/hurricane/image/citruscanker16sm.gif>

Agentes de Dispersão

Ar

Curtas distâncias (camada de turbulência)
Longas distâncias (camada convectiva)

Fungos, Nematoides

Água

Respingos
Enxurrada
Aerossóis

Bactérias
Fungos
Nematoides

Insetos

Vírus
Fitoplasmas
Bactérias
Fungos
Nematoides
Viroides (1)

Pólen

Vírus
Viroides
Fungos

Homem

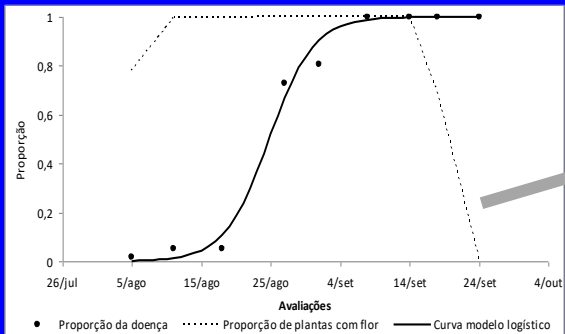
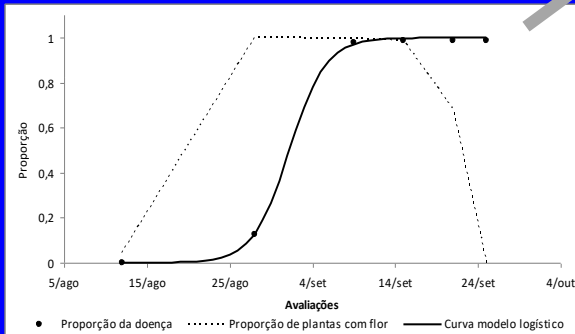
Transporte de material propagativo
Tratos culturais (enxertia, colheita, desbrota)

Vírus, Fungos, Bactérias, Viroides, Nematoides, Fitoplasmas ...

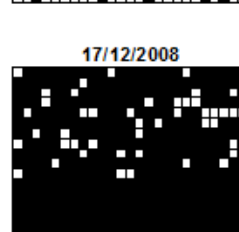
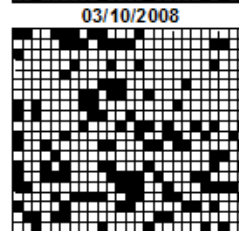
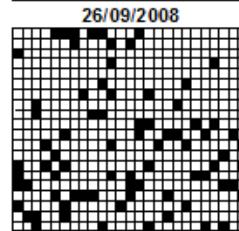
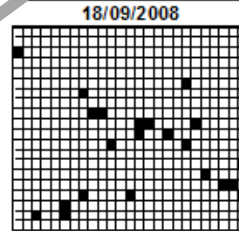
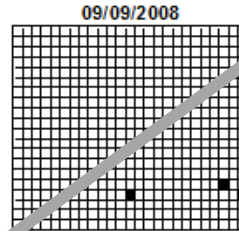
Podridão floral dos citros



Colletotrichum acutatum

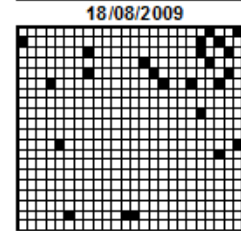
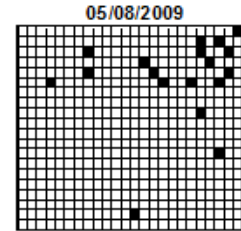


Área 1 - 2008



Área 1 - 2009

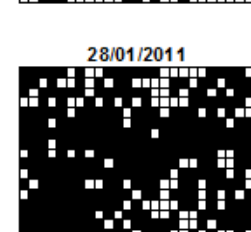
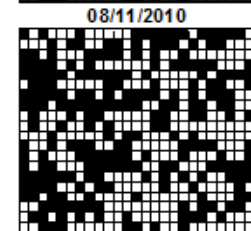
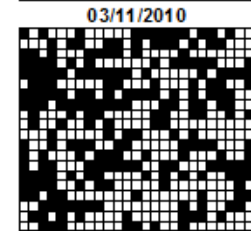
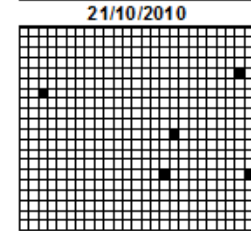
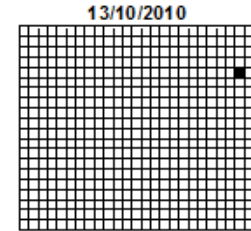
SINTOMAS EM PÉTALAS



CÁLICES PERSISTENTES



Área 1 - 2010



Transmissão - Liberação, dispersão e deposição

Fonte de inóculo
cv.Valencia



Simulação diária de orvalho



Controle do ambiente dentro
e for a das gaiolas



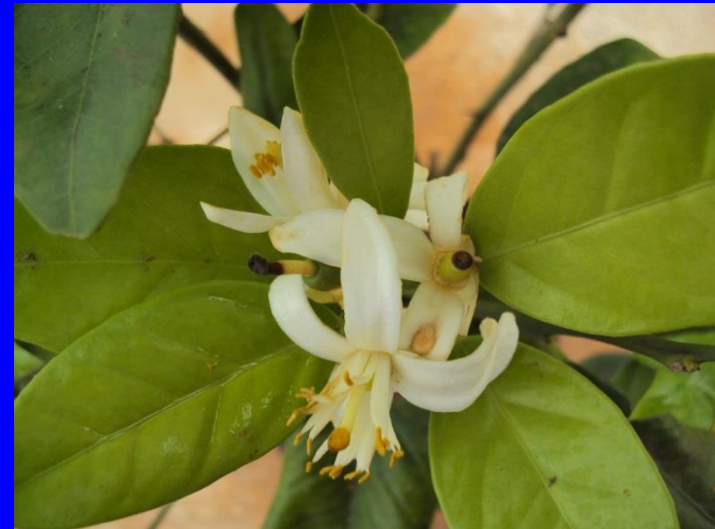
(Gaparoto et al. 2016)

Abelhas podem dispersar *C. acutatum* de plantas inoculadas para sadias

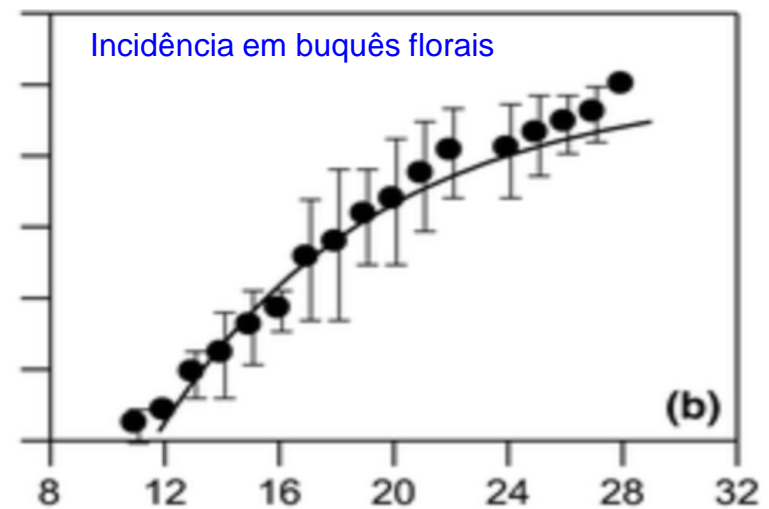
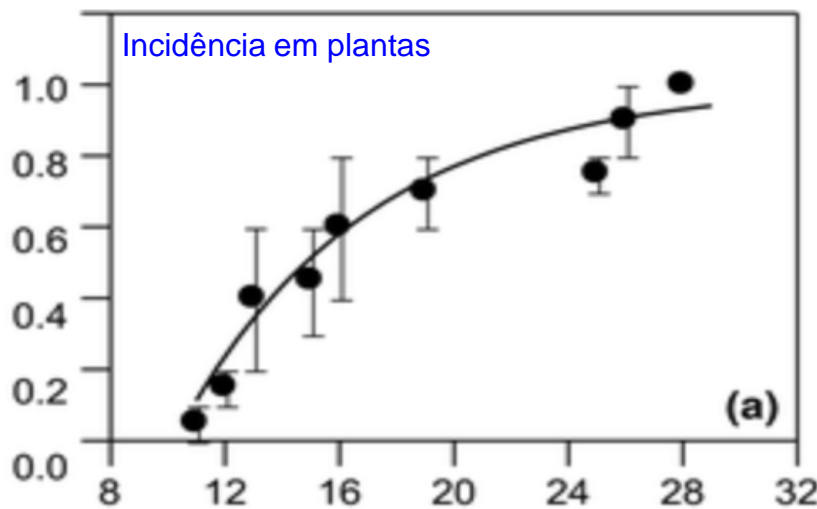
Experimento 1



Experimento 2



(Gaparoto et al., 2016)

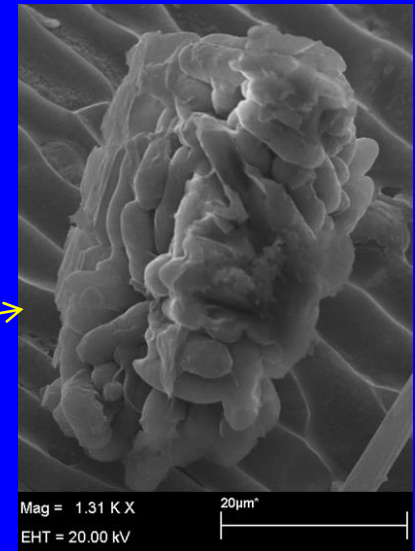
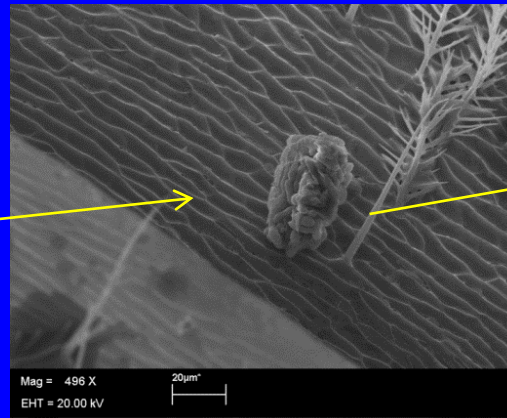
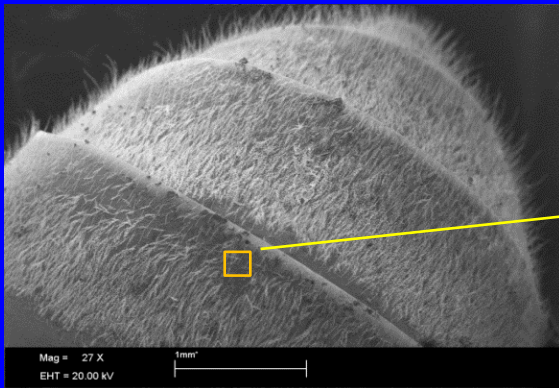
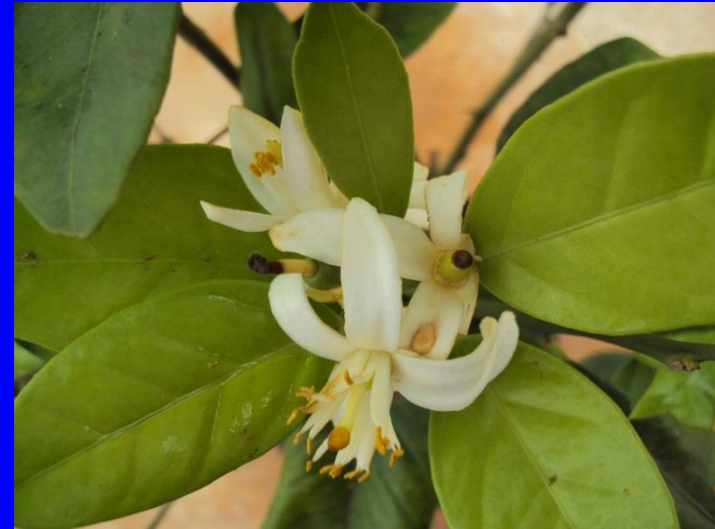


Abelhas podem dispersar *C. acutatum* de plantas inoculadas para sadias

Experimento 1



Experimento 2



(Gaparoto et al. 2016)

Transmissão - Liberação, dispersão e deposição

Vírus, fitoplasmas, fungos e bactérias

Pulgão preto (*Toxoptera citricida*)
Vírus da tristeza dos citros



Parra et al. (2003)

Parathona



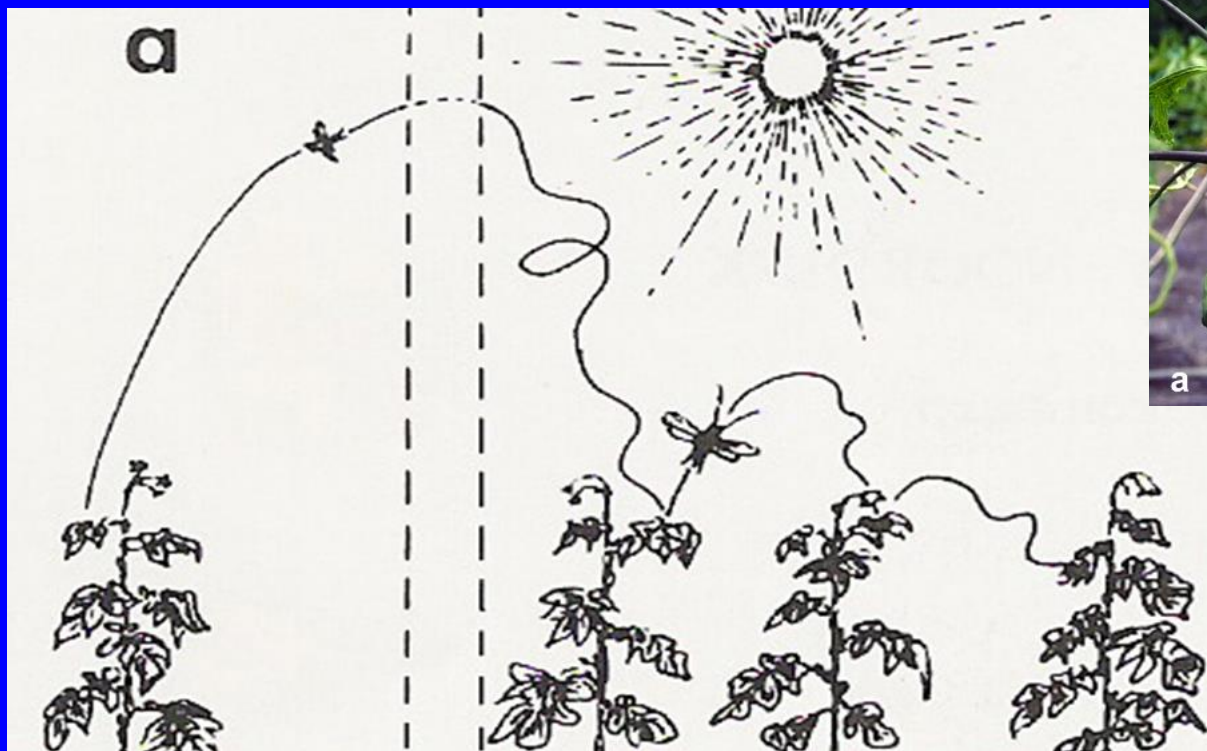
Cigarrinhas
Xylella fastidiosa



Ferrariana

Transmissão - Liberação, dispersão e deposição

Transmissão de vírus por insetos de forma não persistente

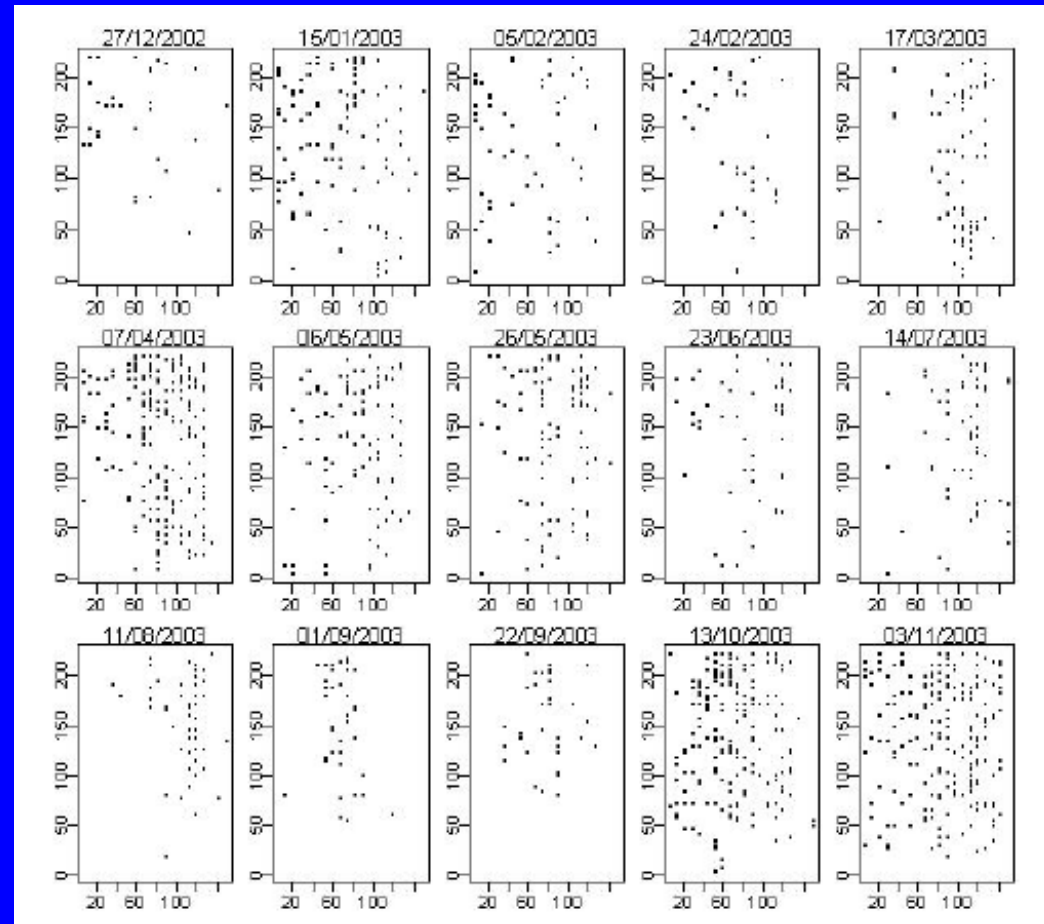


Transmissão - Liberação, dispersão e deposição



Bastianel et al. (2006)

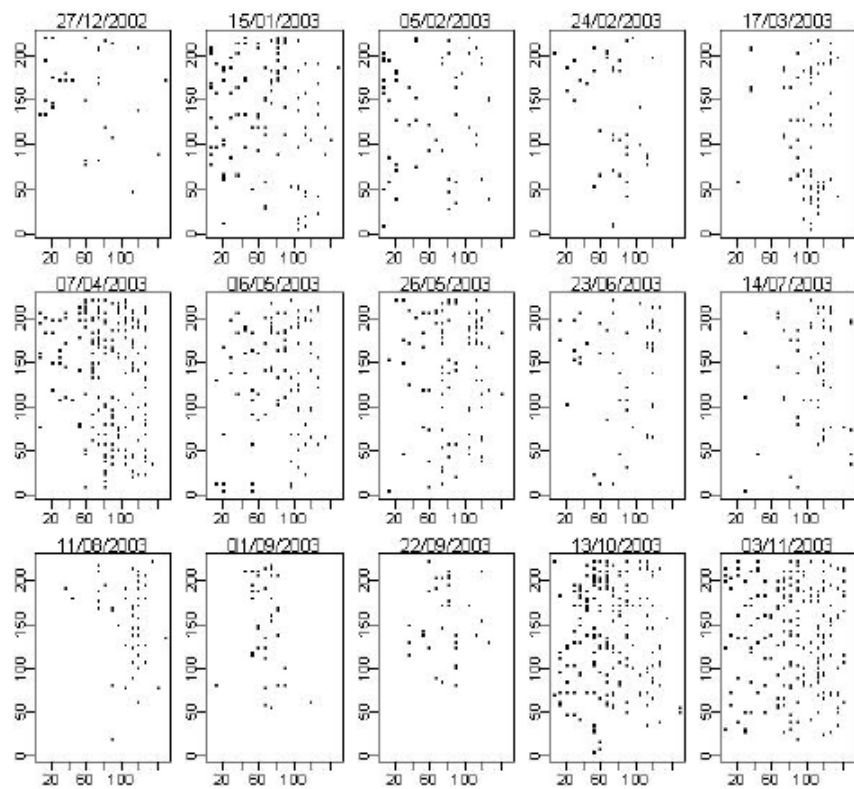
Brevipalpus yothersi



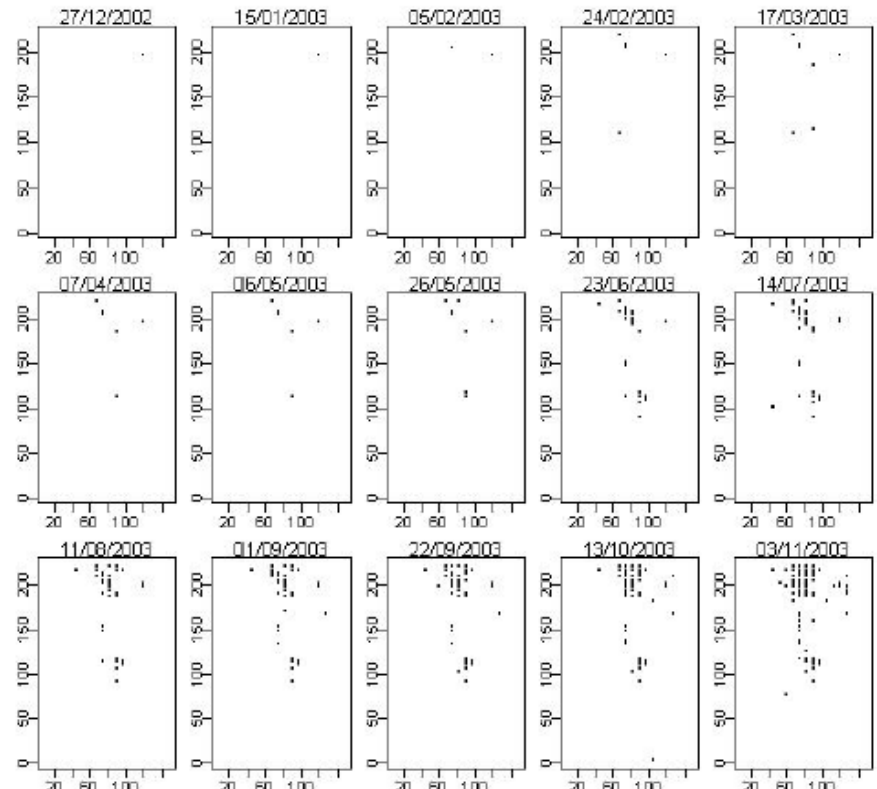
Czermainski (2007)

Transmissão - Liberação, dispersão e deposição

Brevipalpus yothersi



Leprose



Para a próxima aula:

Trabalho em grupo – definição de infecção e de colonização (procurar definições contrastantes)

Leitura: Aylor, D.E. *Aerial Dispersal of Pollen and Spores* APS Press 2017

Amorim, L. & Pascholati, S.F. Ciclo de relações patógeno-hospedeiro.